

P2: Perception auditive



Daniel Pressnitzer

Laboratoire des Systèmes Perceptifs, CNRS
& Département d'études cognitives, Ecole normale supérieure
29 rue d'Ulm, 75230 Paris cedex 05

daniel.pressnitzer@ens.fr

Plan du cours

I. Bases, méthodes et concepts

acoustique, psychophysique, physiologie

II. Caractéristiques élémentaires et applications

champ audible, masquage, bande critique, non-linéarités, MP3, implants

III. Attributs perceptifs

sonie, hauteur, timbre, localisation

IV. Analyse des scènes auditives

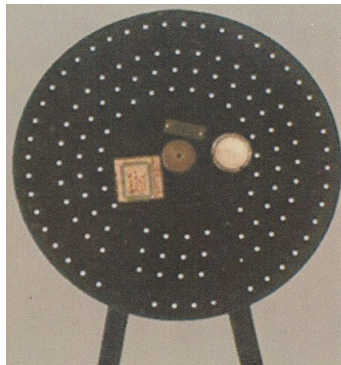
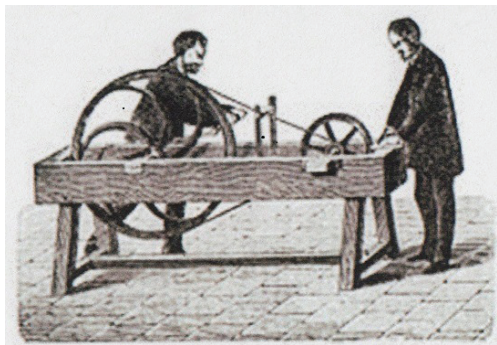
organisation auditive, musique

V. Etudes en cours

mémoire auditive, effets de contexte

II.1 Caractéristiques élémentaires

Introduction



- Helmholtz, Seebeck: résonateurs, diapasons, sirènes, etc...
- 1876: Transmission et reproduction du son par Bell et Edison
- Création des Bell Labs
- Transistors, théorie de l'information – et surdit 

II.1 Caractéristiques élémentaires

Bell Labs



- Un IBM 704 synthétise la première musique numérique, “In the Silver scale”, par Newman Guttman et Max Mathews

II.1 Caractéristiques élémentaires

Bell Labs

Sunday, April 26, 1959

the village **Voice** and the record hunter present

A Sunday Afternoon of CONTEMPORARY MUSIC

with **EDGARD VARESE**

and **JOHN CAGE**

SUNDAY, APRIL 26, 5 p. m.
Produced by DAVID JOHNSON

Cage/COMPOSITION FOR PIANO
*Maxfield/ELECTRONIC SCORE FROM "STACKED DECK"
*Feldman/COMPOSITION FOR PIANO
*Guttman/COMPUTOR MUSIC
Cage/FONTANIAS MIX (U.S. PREMIERE)
Brown/MUSIC FOR CELLO & PIANO
Varese/POEME ELECTRONIQUE
*WORLD PREMIERE
Electronic Equipment: FISHER RADIO CORP.

DAVID TUDOR / DAVID SOYER
pianist / cellist

at the **VILLAGE GATE**
324 THOMPSON STREET AT BLEECKER STREET
185 (2 blocks south of Washington Square)

Tickets \$2.00
LIMITED SEATING

Available at:
THE VILLAGE VOICE
22 Greenwich Avenue
New York 11, New York
THE RECORD HUNTER
307 Fifth Avenue
New York 17, New York
Mail Orders Accepted

For Reservations Call
Watkins 4-4669

- Un IBM 704 synthétise la première musique numérique, “In the Silver scale”, par Newman Guttman et Max Mathews
- “Pitch variations”, Newman Guttman, 1957

II.1 Caractéristiques élémentaires

Bell Labs



The Digital Computer as a Musical Instrument

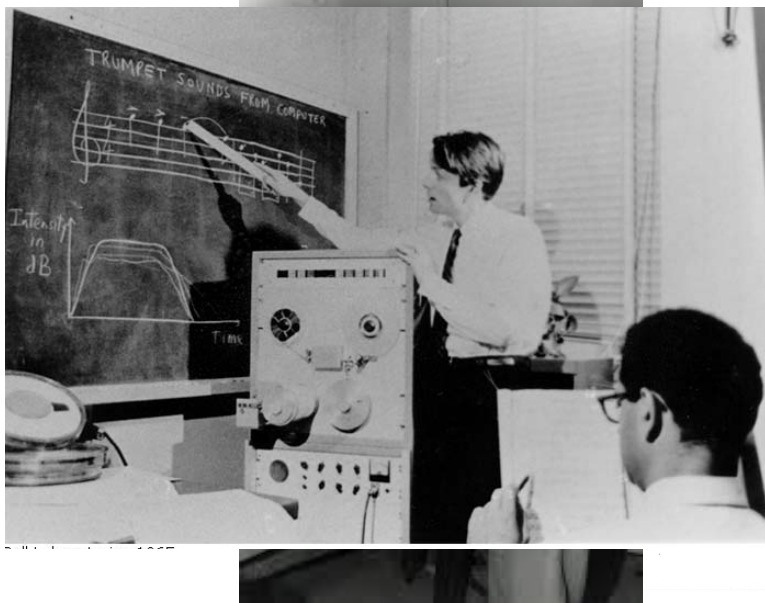
With the aid of suitable output equipment, the numbers which a modern digital computer generates can be directly converted to sound waves. The process is completely general, and any perceivable sound can be so produced. This

Max Mathews, Science, 1963

- Un IBM 704 synthétise la première musique numérique, “In the Silver scale”, par Newman Guttman et Max Mathews
- “Pitch variations”, Newman Guttman, 1957
- Possibilités techniquement illimitées

II.1 Caractéristiques élémentaires

Bell Labs



reco COI J SA n. ON K"

The Digital Computer as a Musical Instrument

With the aid of suitable output equipment, the numbers which a modern digital computer generates can be directly converted to sound waves. The process is completely general, and any perceivable sound can be so produced. This

185 (2 bloc)



Tickets
LIMITED

For Reser... New York 17 Newff
W...

Jean-Claude Ribes, 'Catalog', 1969

- “Pitch variations”, Newman Guttman, 1957
- Possibilités techniquement illimitées
- Composer le son: enjeux liés à la perception auditive

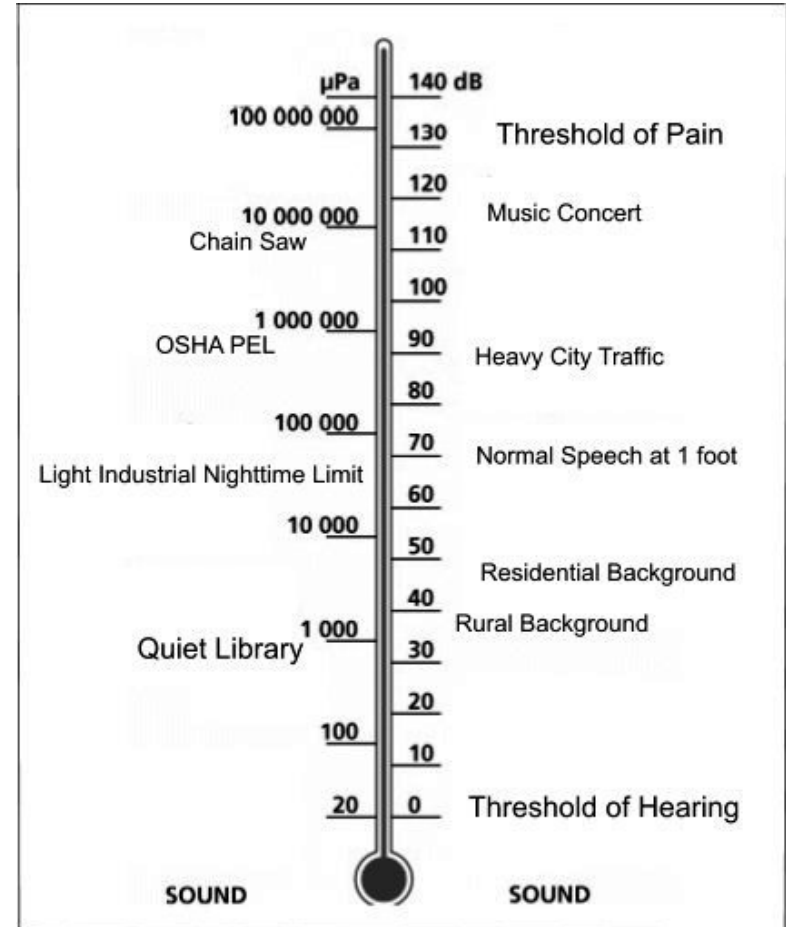
II.1 Caractéristiques élémentaires

Digression...



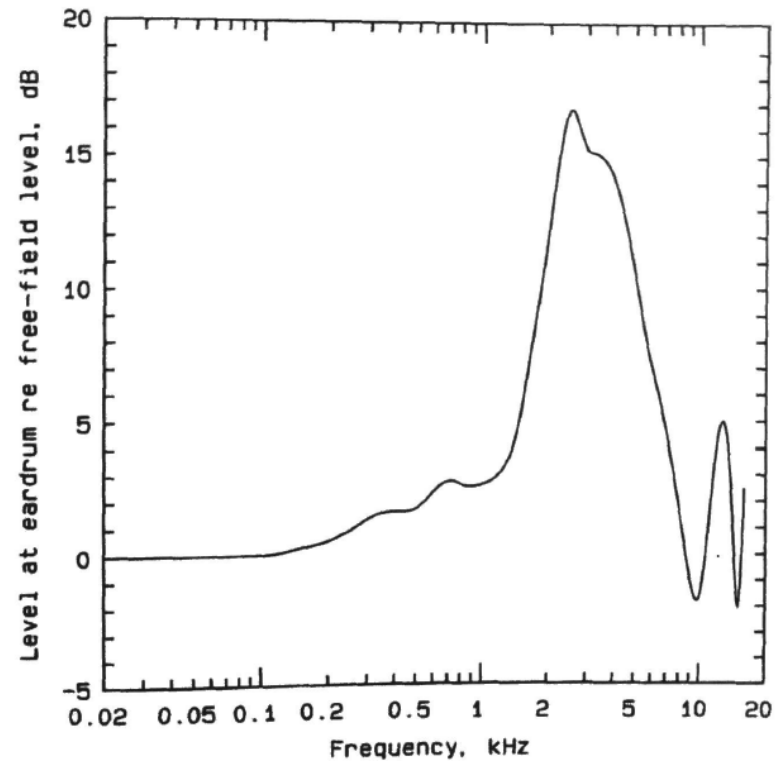
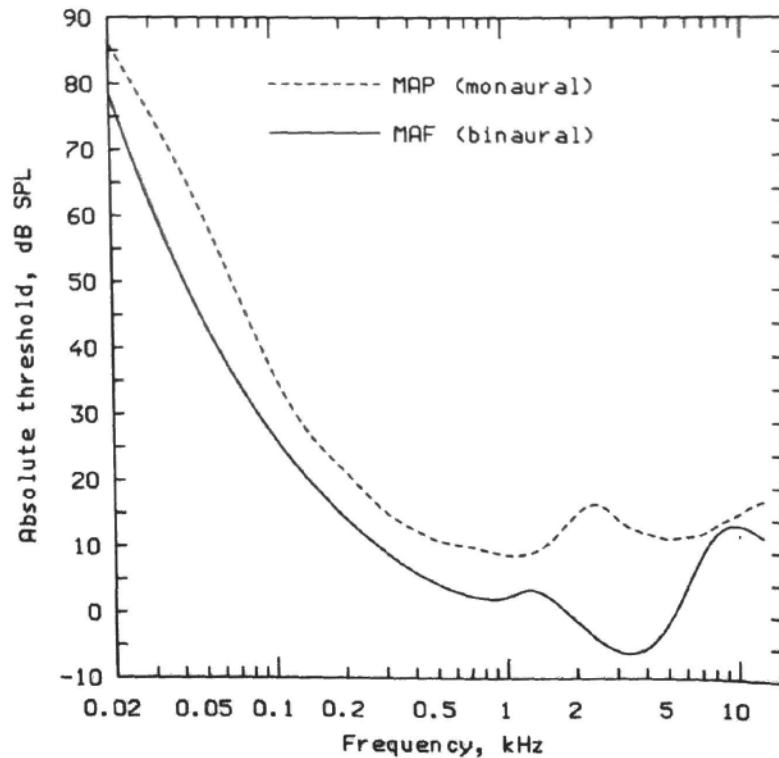
II.1 Champ audible

- Plage d'existence: échelle dB SPL



II.1 Champ audible

- Son pur à différentes fréquences: pressure vs field



II.1 Champ audible

Demo [ASA 17]:

Sons purs à 125, 250, 500, 1000, 2000, 4000 et 8000Hz

Présentés avec une intensité décroissante, par pas de 5dB

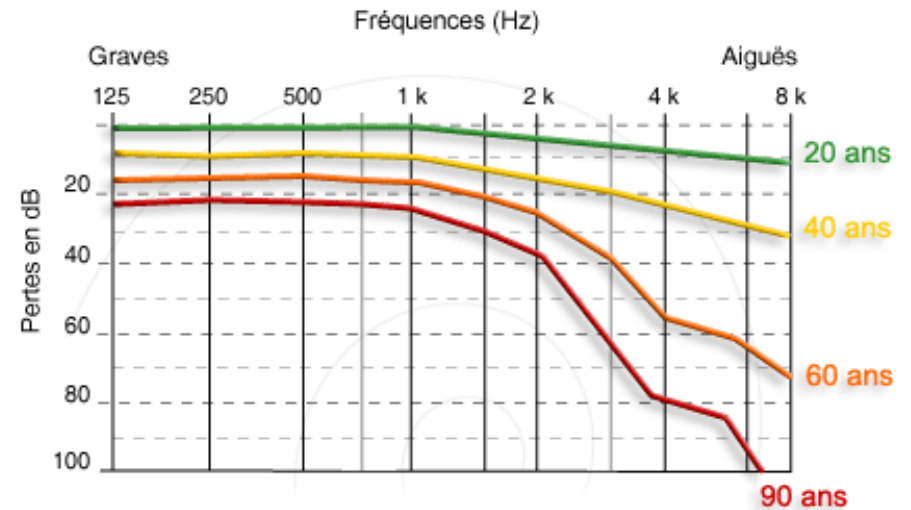
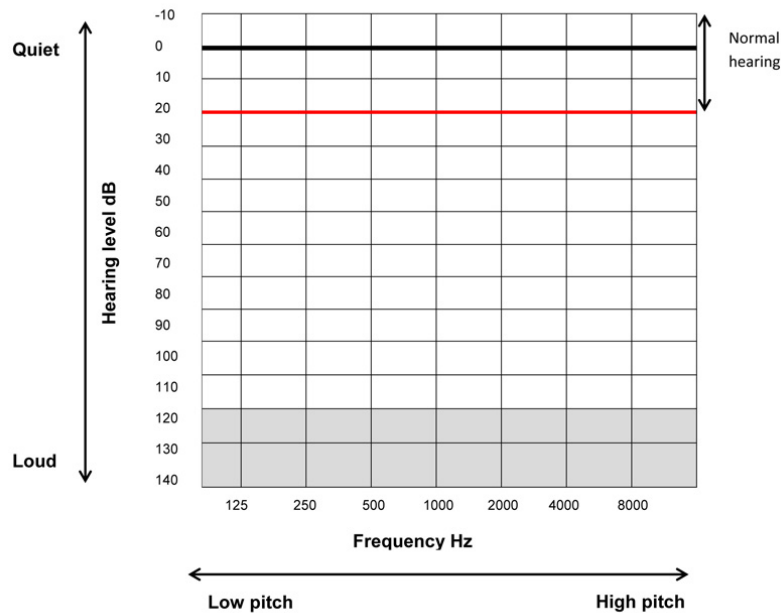
Compter combien de pas sont entendus pour chaque fréquence



II.1 Champ audible

Audiogramme

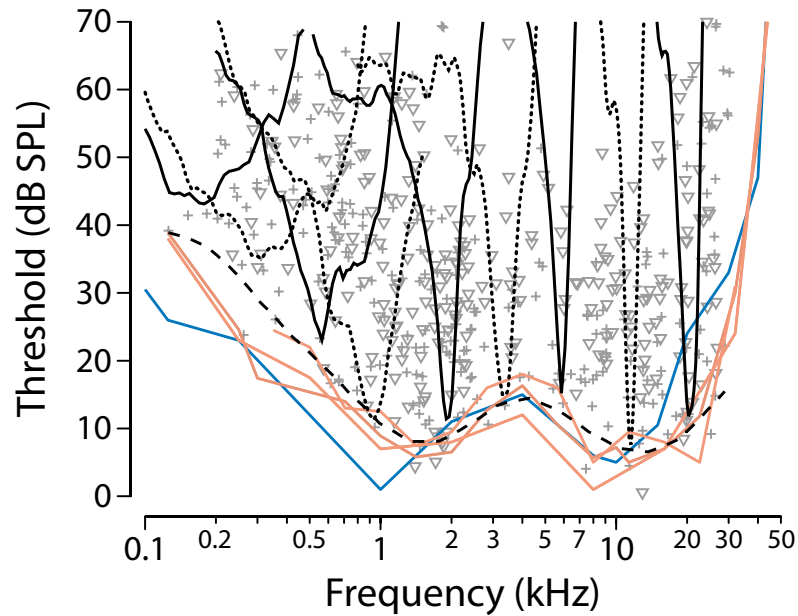
- Echelle clinique: dB HL (Hearing Level)
- Presbyacousie



II.1 Champ audible

Audiogramme

- Lien entre seuils et activité dans le nerf auditif



II.2 Masquage simultané

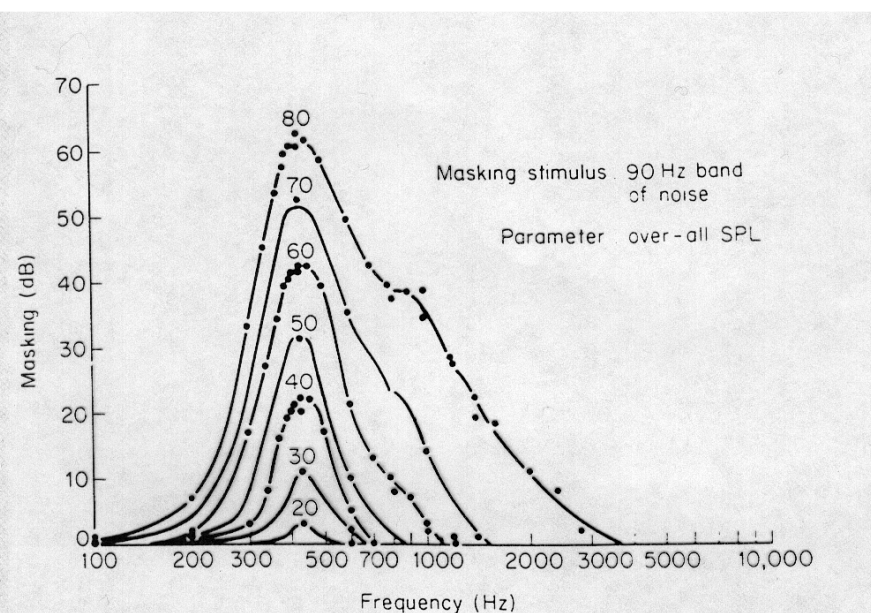
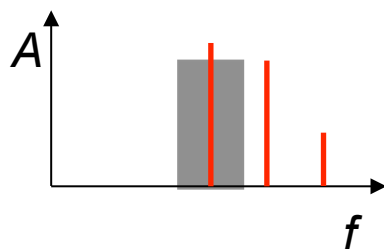
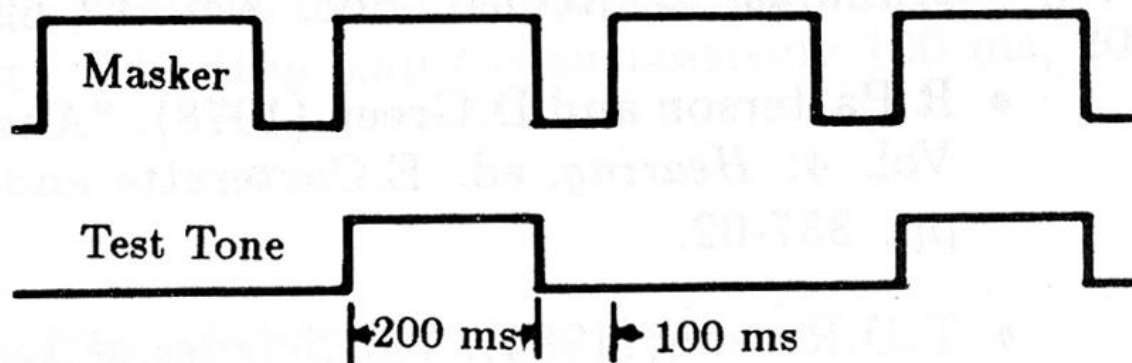


FIG. 3.10 Masking patterns (masked audiograms) for a narrow band of noise centred at 410 Hz. Each curve shows the elevation in threshold of a pure tone signal as a function of signal frequency. The overall noise level for each curve is indicated in the figure. Adapted from Egan and Hake (1950), by permission of the authors and *J. Acoust. Soc. Am.*

II.2 Masquage simultané



Demo [ASA 22]: Un masqueur est présenté avec un signal d' amplitude décroissante (plusieurs répétitions pour chaque amplitude)

Compter combien de pas sont entendus pour le signal

A) Masqueur = 1200Hz, Signal = 2000Hz

B) Masqueur = 2000Hz, Signal = 1200Hz

II.2 Masquage simultané

La bande critique

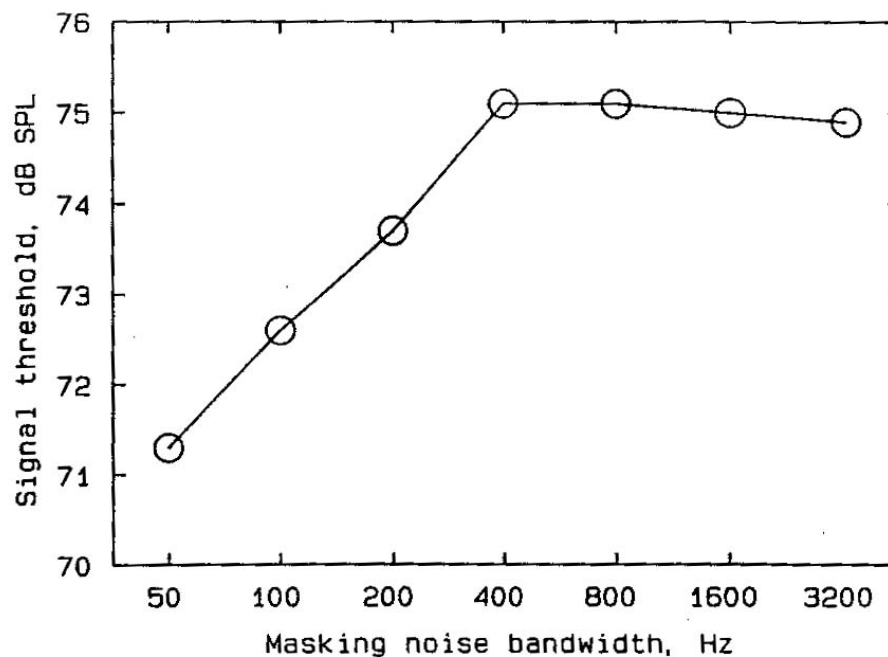
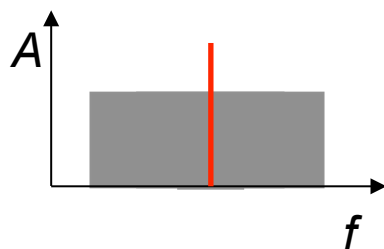


FIG. 3.1 The threshold of a 2000-Hz sinusoidal signal plotted as a function of the bandwidth of a noise masker centred at 2000 Hz. Notice that the threshold of the signal at first increases with increasing masker bandwidth and then remains constant. From Schooneveldt and Moore (1989).

II.2 Masquage simultané

La bande critique

Demo [ASA 2-6]

Le signal est un son pur à 2000Hz

A) signal seul

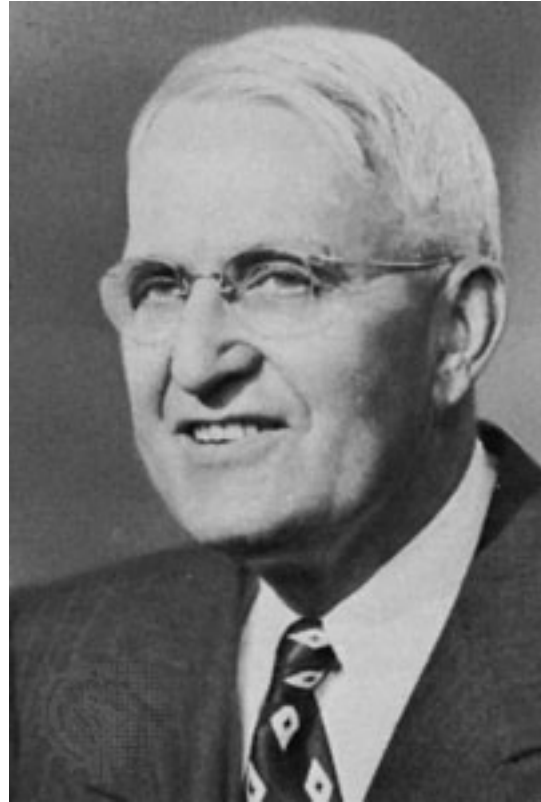
B) masqué par un bruit large bande

C) masqué par une bande de bruit de largeur 1000Hz

D) largeur 250Hz

E) largeur 10Hz

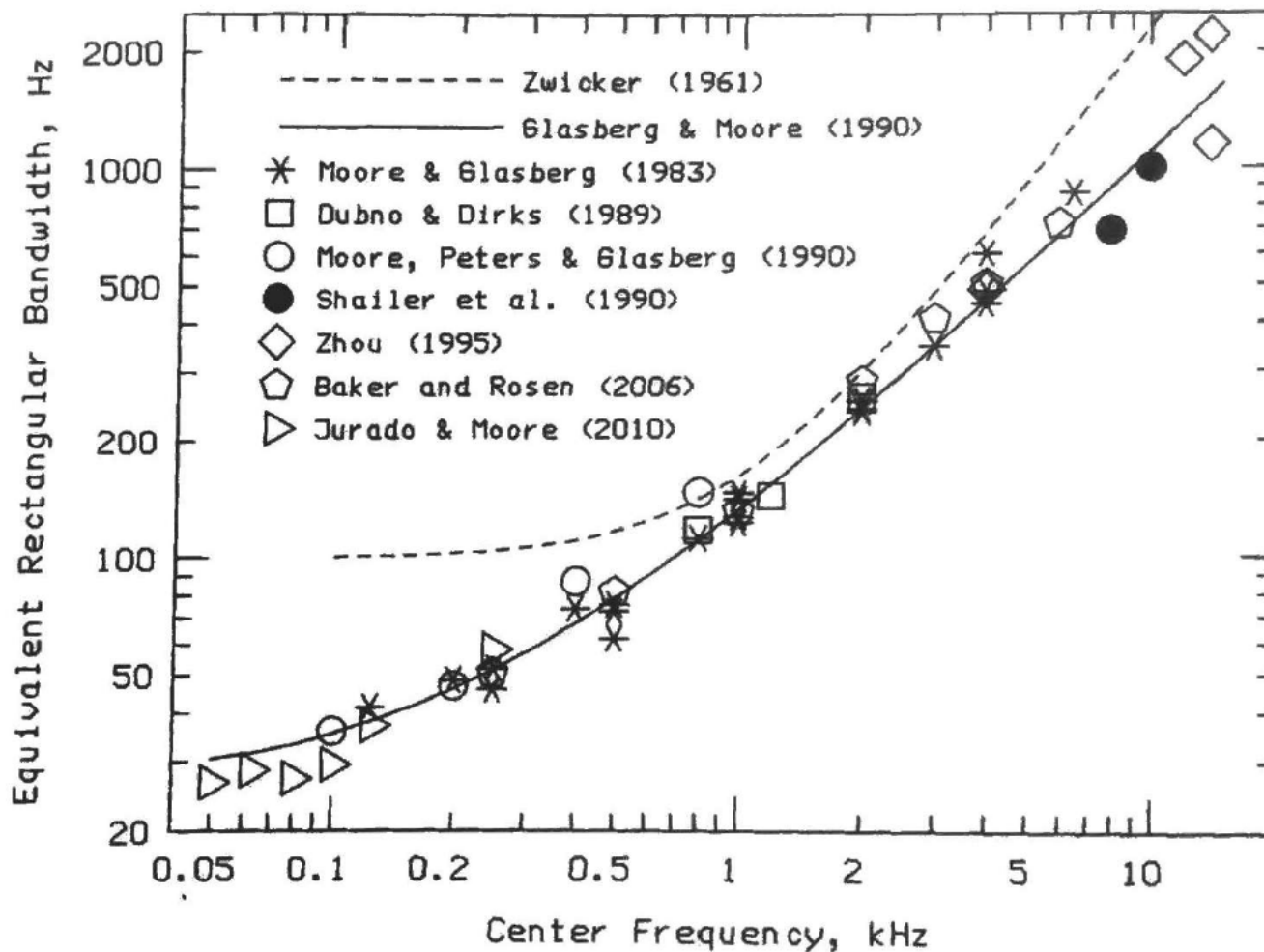
II.2 Masquage simultané



Harvey Fletcher, Speech and Hearing (1922)

II.2 Masquage simultané

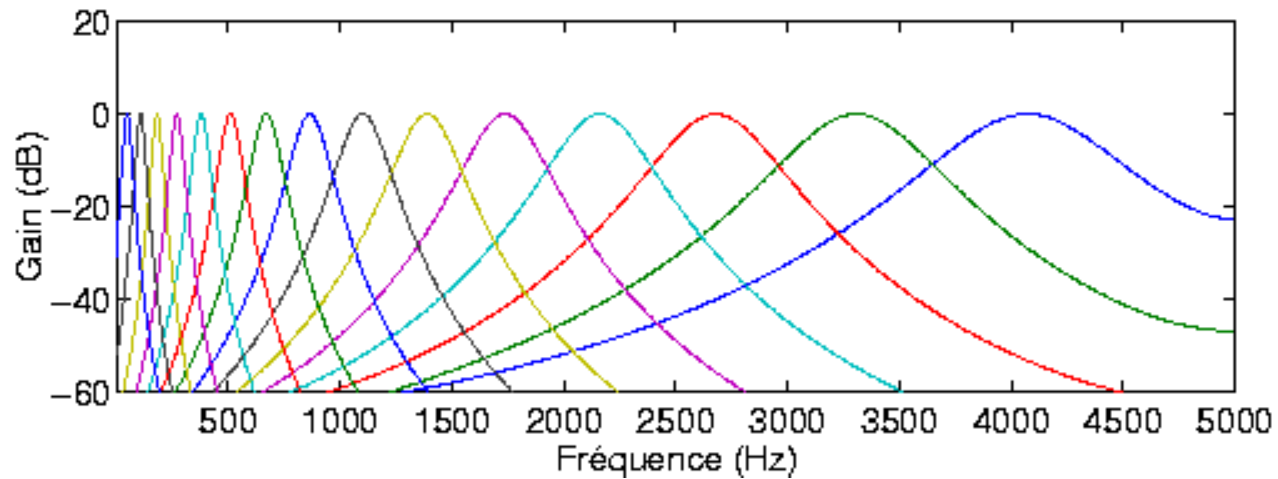
La bande critique



II.2 Masquage simultané

La bande critique

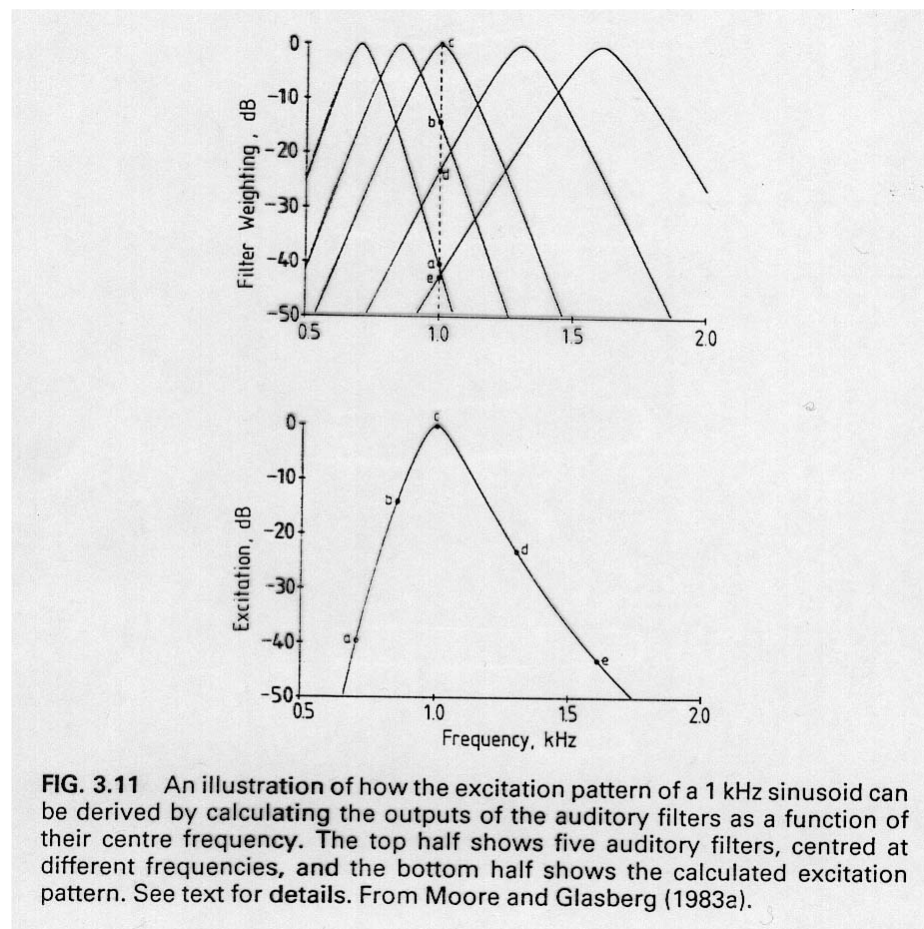
- Filtres auditifs



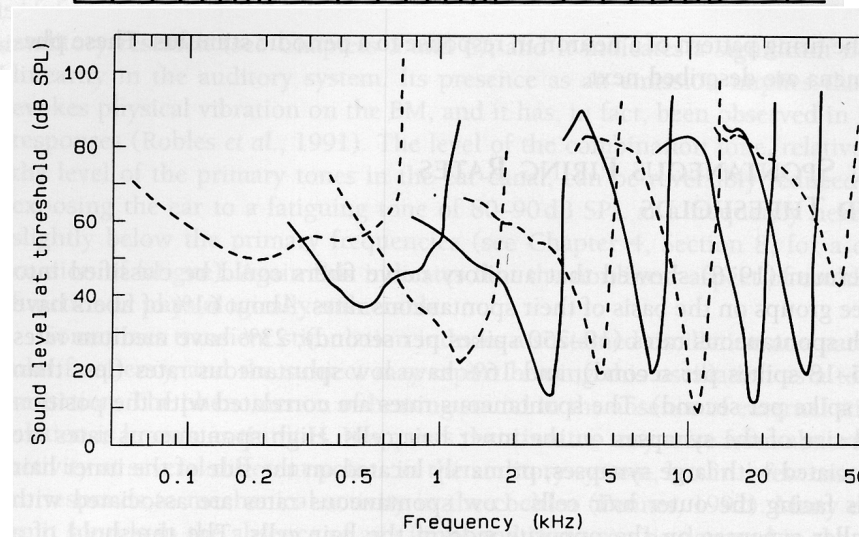
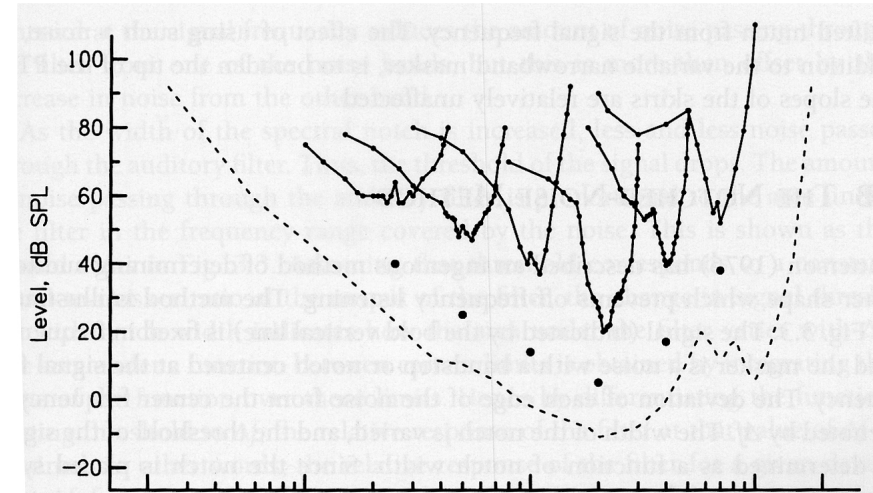
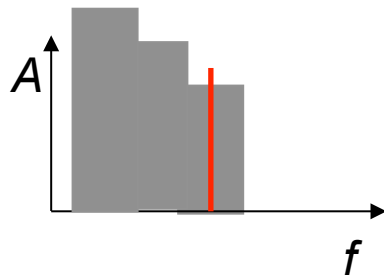
II.2 Masquage simultané

La bande critique

- Filtres auditifs
- Lien avec masquage



II.2 Masquage simultané



II.2 Masquage simultané

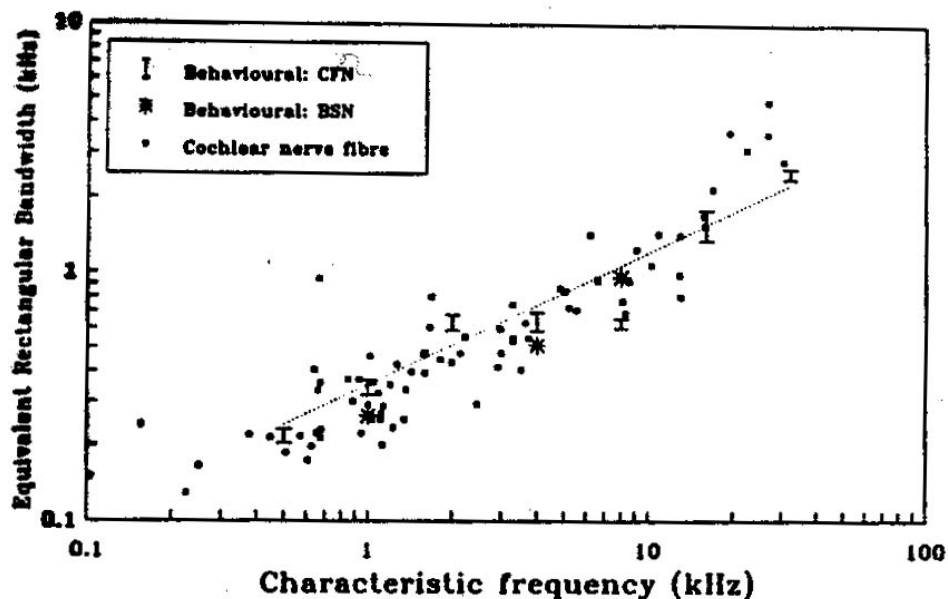
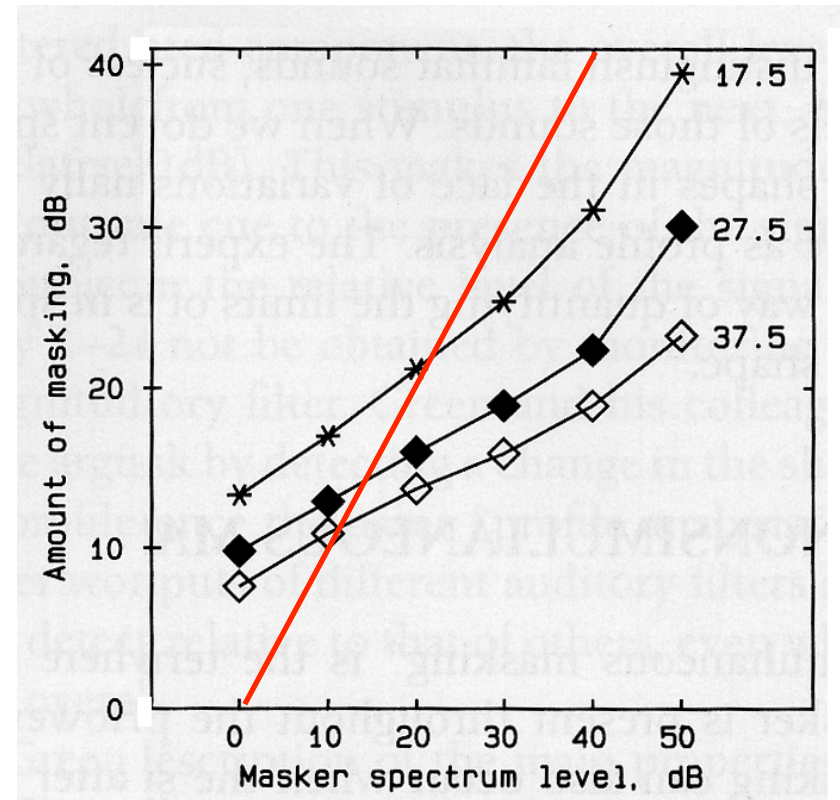
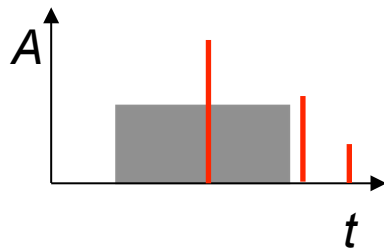


FIG. 3.12 A comparison of ERBs estimated from behavioural masking experiments and from neurophysiological measurements of the tuning curves of single neurones in the auditory nerve. All data were obtained from guinea pigs. There is a good correspondence between behavioural and neural data. From Evans *et al.* (1989).

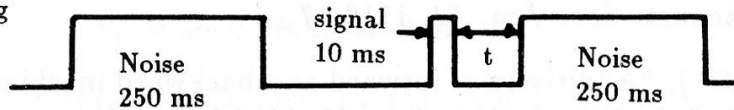
II.3 Masquage temporel

Masquage pro-actif

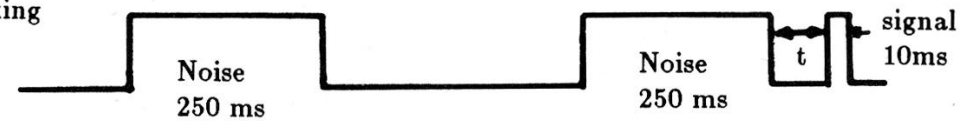


II.3 Masquage temporel

Backward
Masking



Forward
Masking



Demo [ASA 23-25]

Le signal est un son pur. Compter blah blah...

A) Signal seul

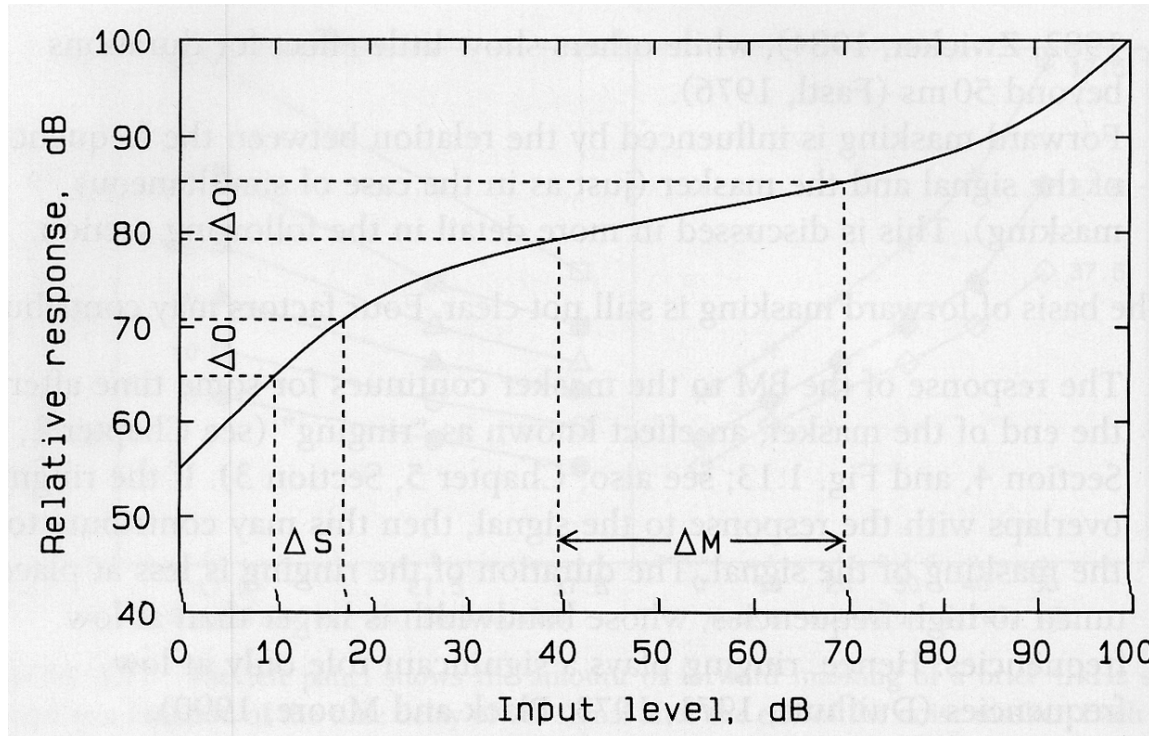
B) Signal suivi ($t=100\text{ms}$, 20ms , 0ms) par un bruit

C) Signal précédé par le bruit

II.3 Masquage temporel

Masquage pro-actif

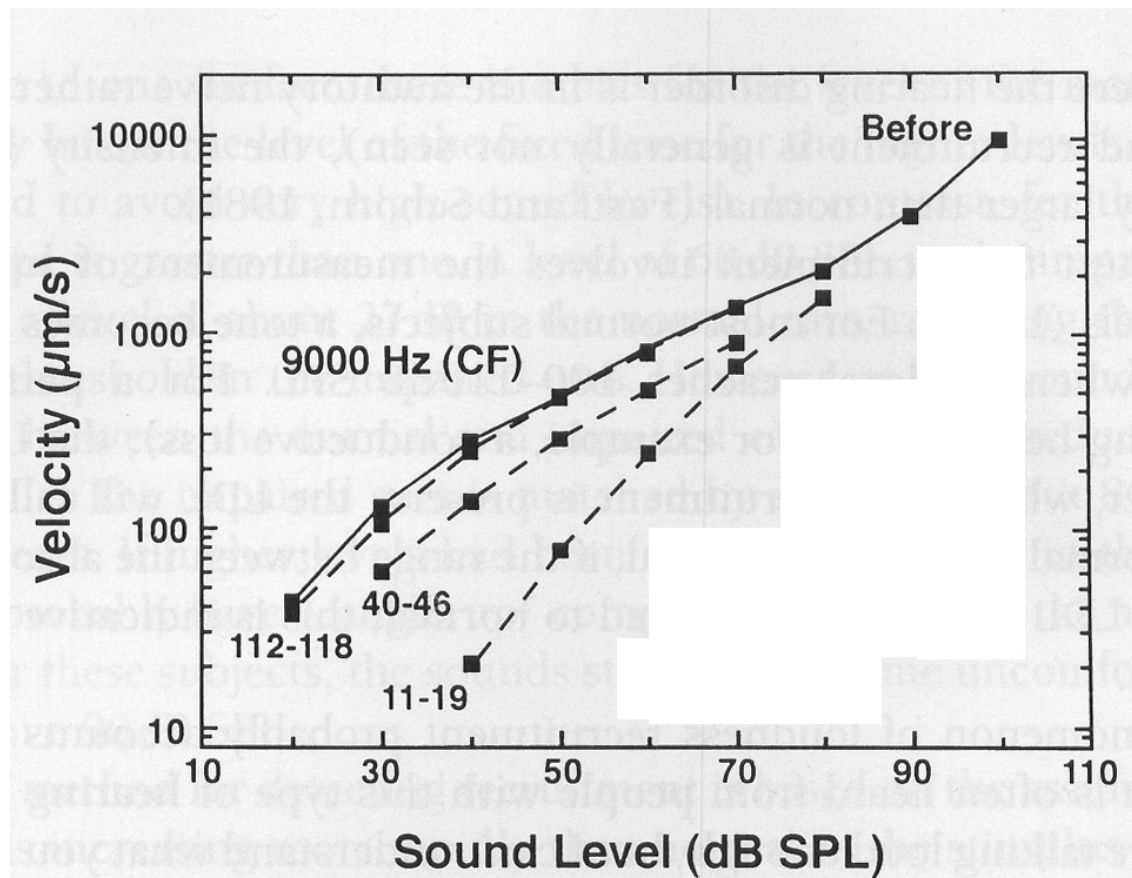
- Existence d'un mécanisme de "compression"



II.3 Masquage temporel

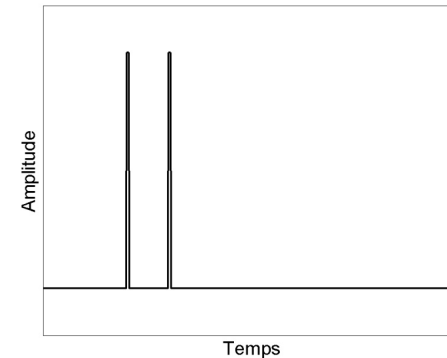
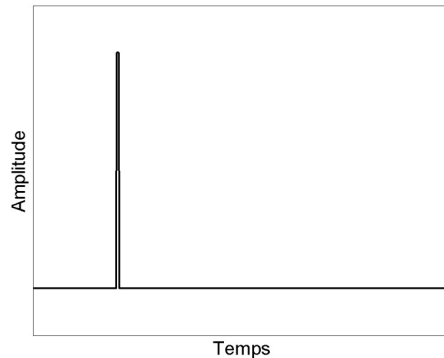
Masquage pro-actif

- Existence d'un mécanisme de "compression"

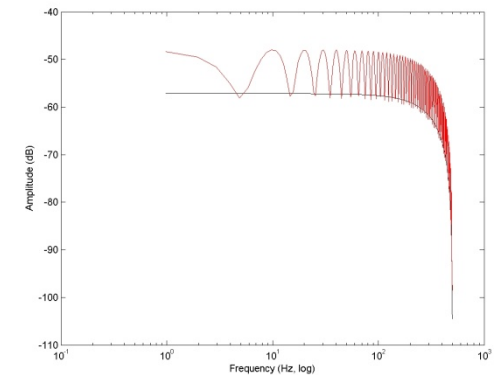


II.4 Résolution temporelle

- Intuitivement: séparer deux évènements dans le temps

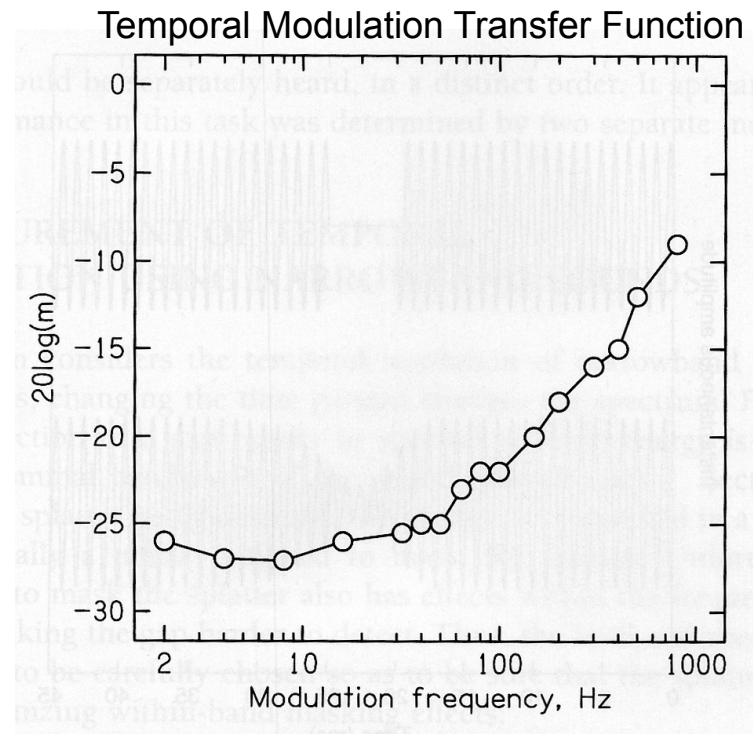
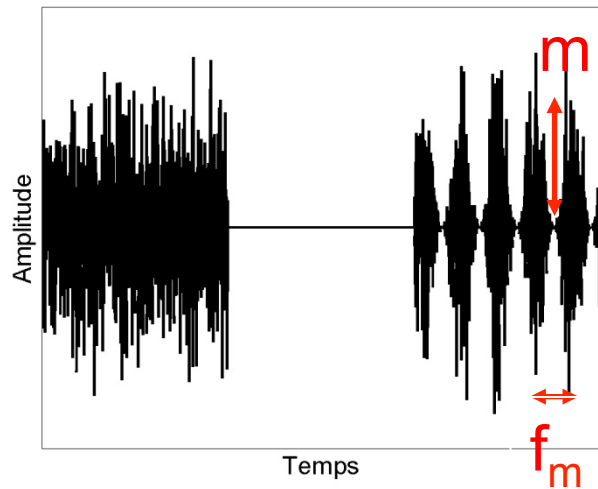


- Paires de clicks: ~ 20 microsec
- ... mais indices spectraux



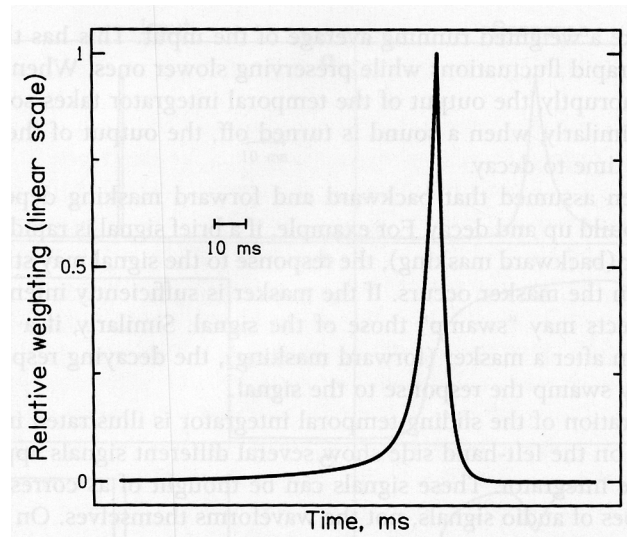
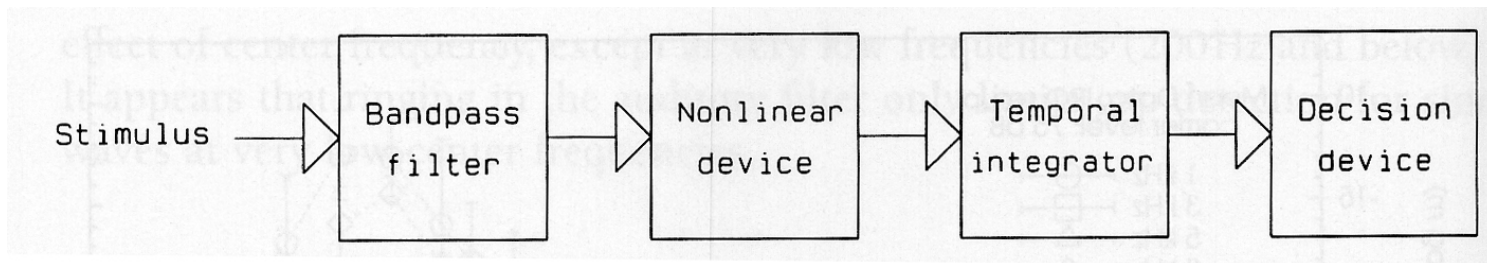
II.4 Résolution temporelle

- Détection de modulation d'amplitude

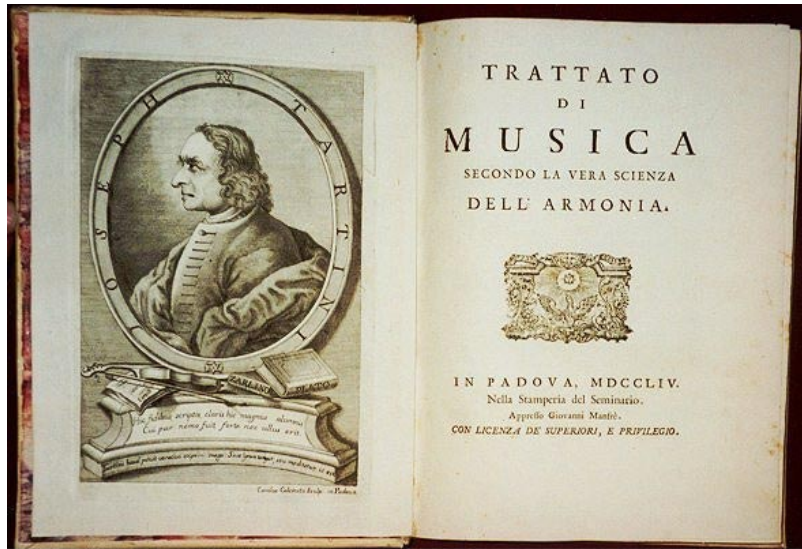


II.4 Résolution temporelle

- Modèle de fenêtre d'intégration



II.5 Produits de distortion



Tartini: *Trattato di Musica*. First edition (1754). The famous violinist's important treatise.

400 & 500 Hz
= 4th and 5th
harmonics of
100 Hz

400 & 533 Hz
= 3rd and 4th
harmonics of
133 Hz

400 & 600 Hz
= 2nd and 3rd
harmonics of
200 Hz



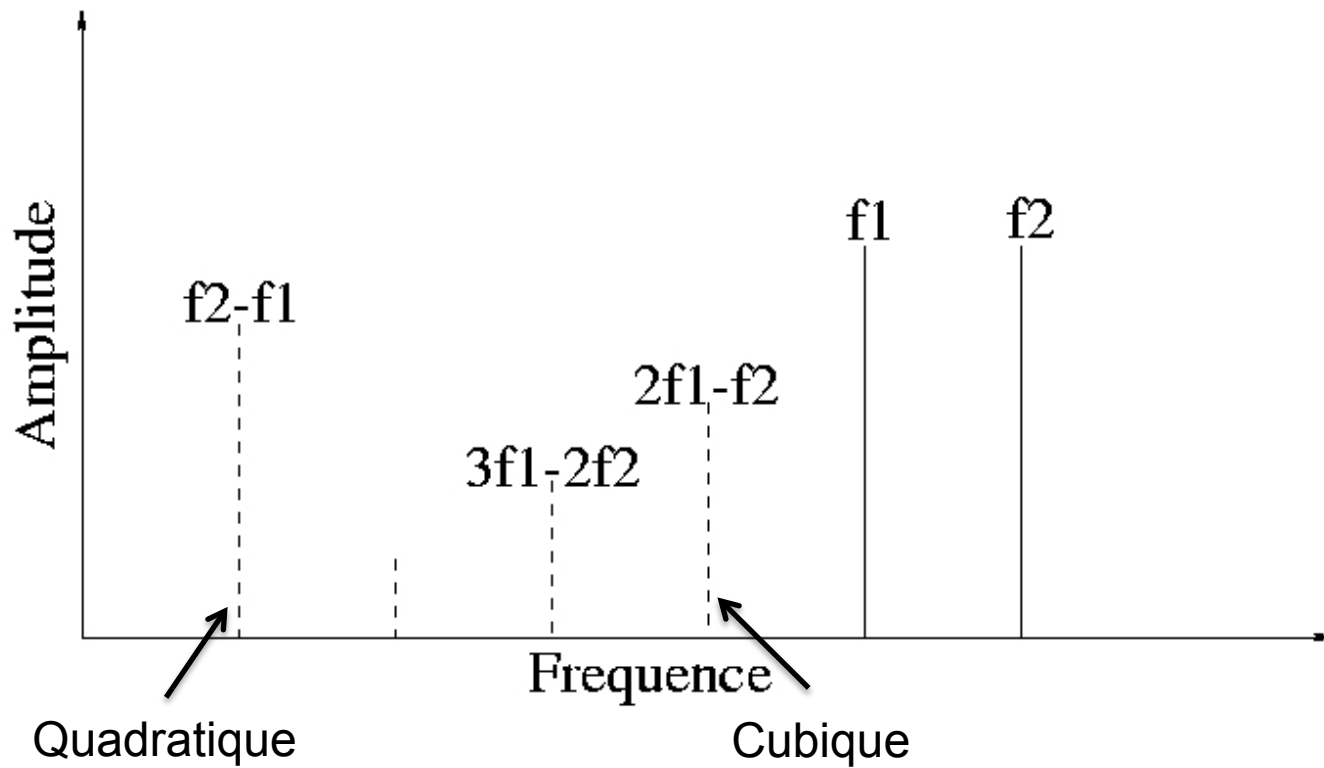
Difference tone:
500 - 400 Hz
= 100 Hz

Difference tone:
533 - 400 Hz
= 133 Hz

Difference tone:
600 - 400 Hz
= 200 Hz

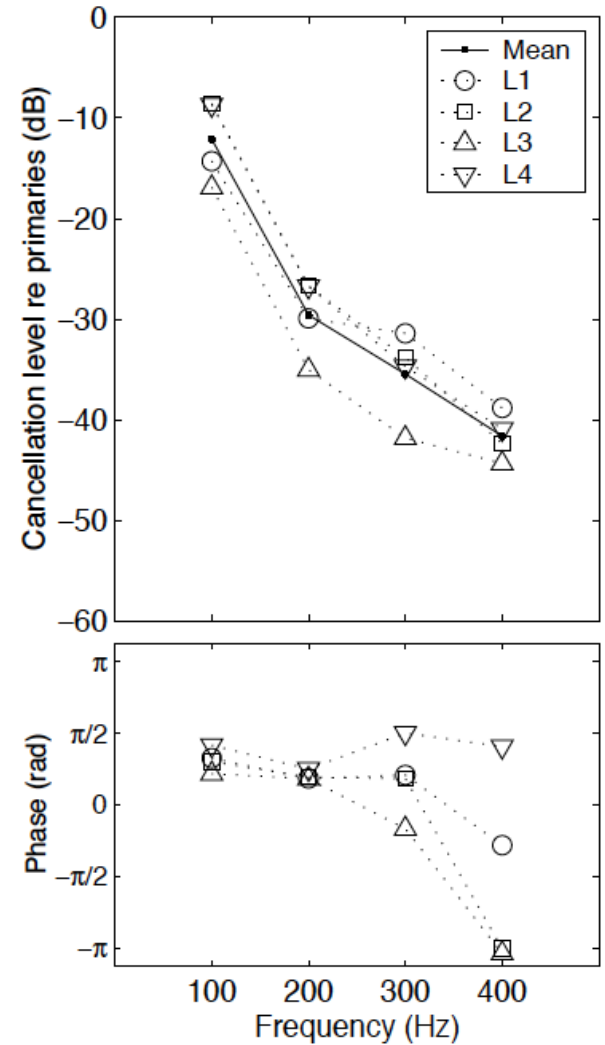
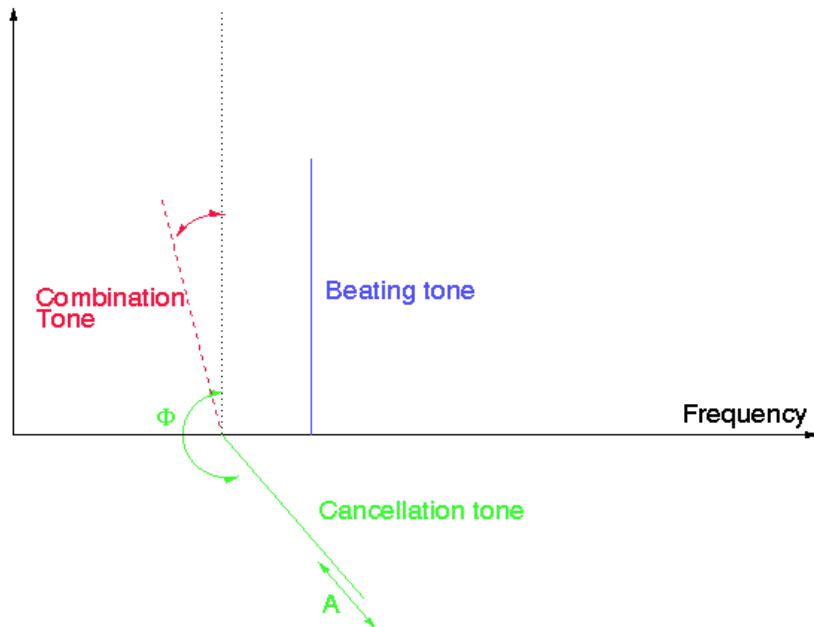
II.5 Produits de distortion

- Avec deux sons purs f_1 et f_2



II.5 Produits de distortion

- Mesure comportementale



II.5 Produits de distortion

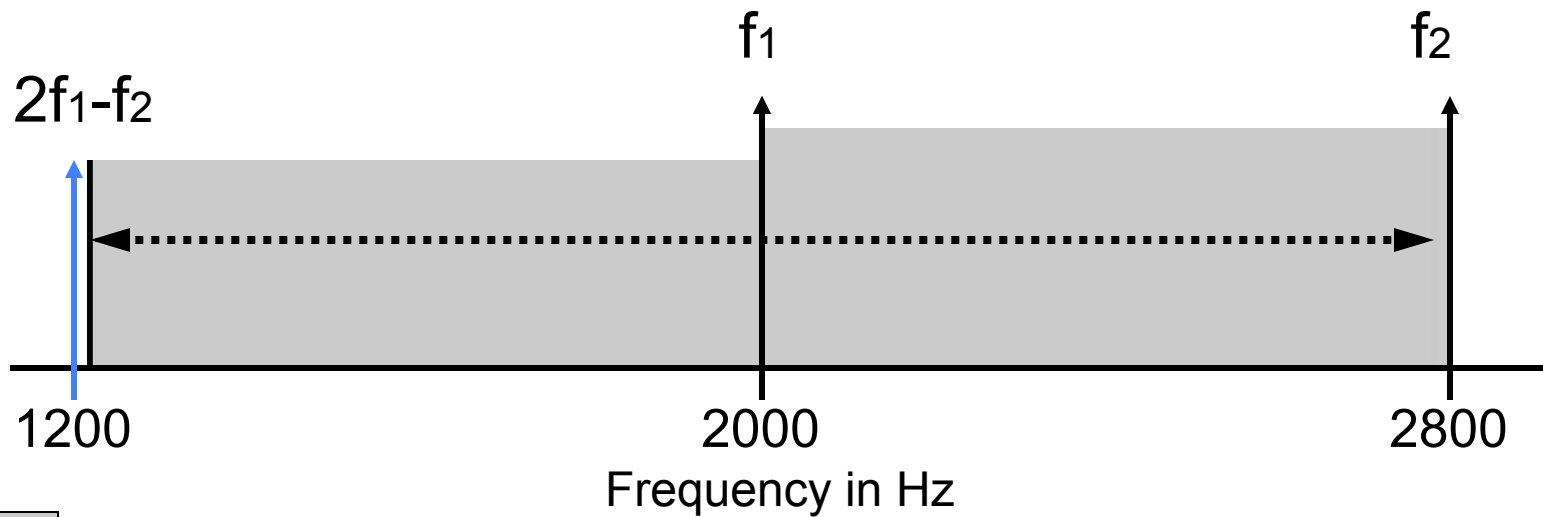
Demo [ASA 68]

Deux sons purs sont présentés à 1000 et 1200Hz

On rajoute un son pur à 804Hz

Nb: $2f_1 - f_2 = 800\text{Hz}$

II.5 Produits de distortion



primary tone f_1

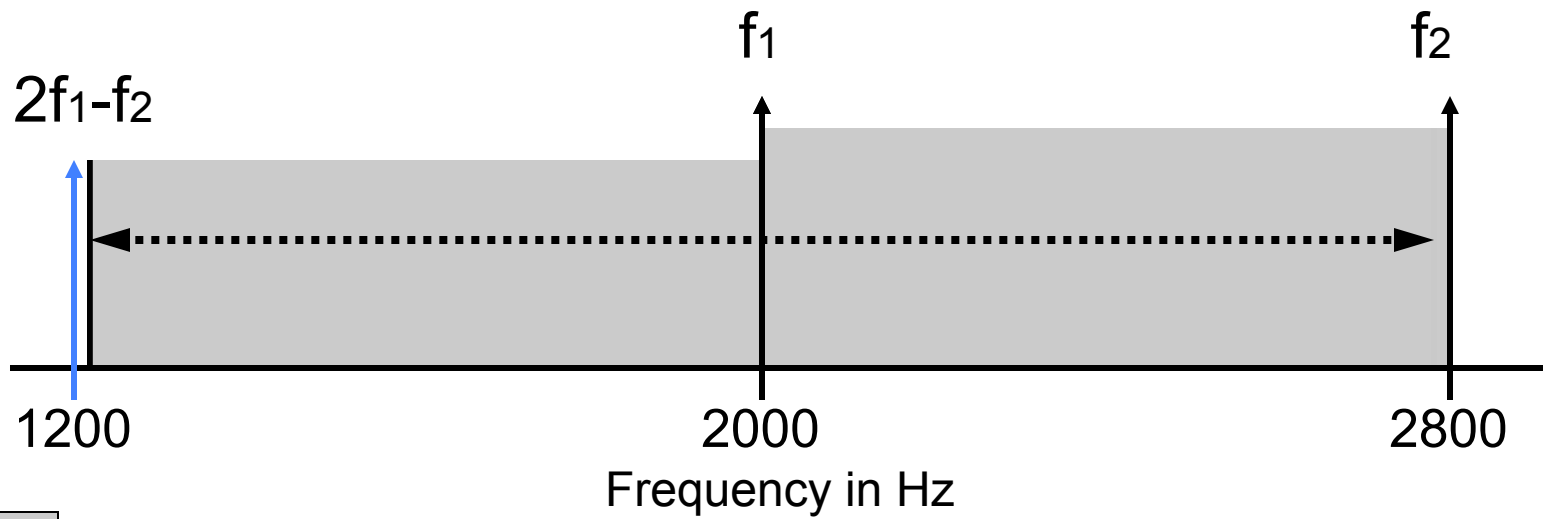


primary chirp f_2



f_1 and f_2

II.5 Produits de distortion



primary tone f_1



primary chirp f_2



f_1 and f_2

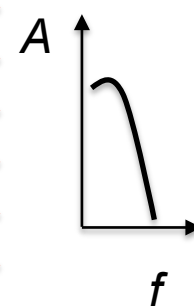
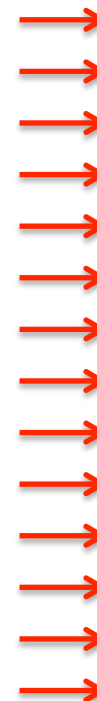
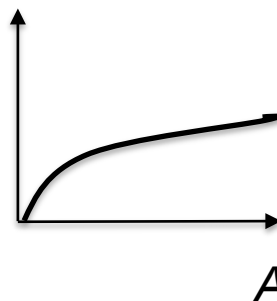
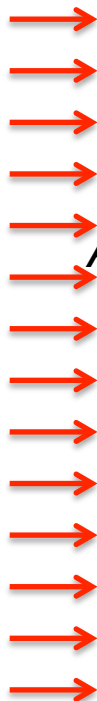
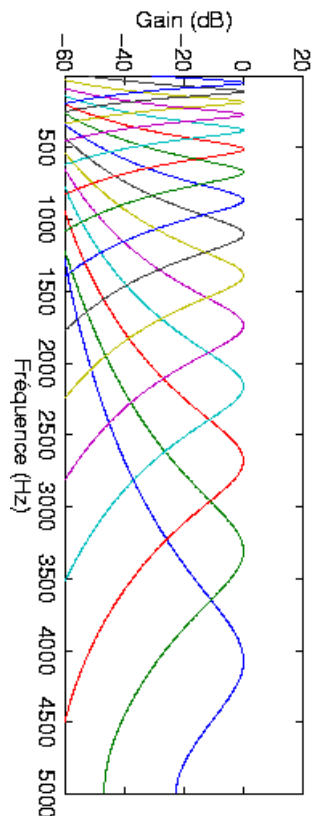
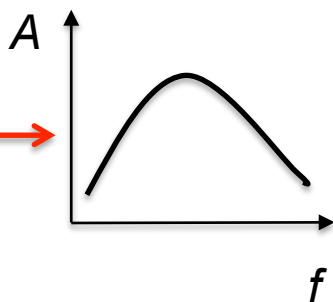
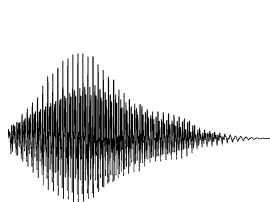
II.6 Modèles

Pré-emphase

Banc de filtre

Compression

Passe-bas



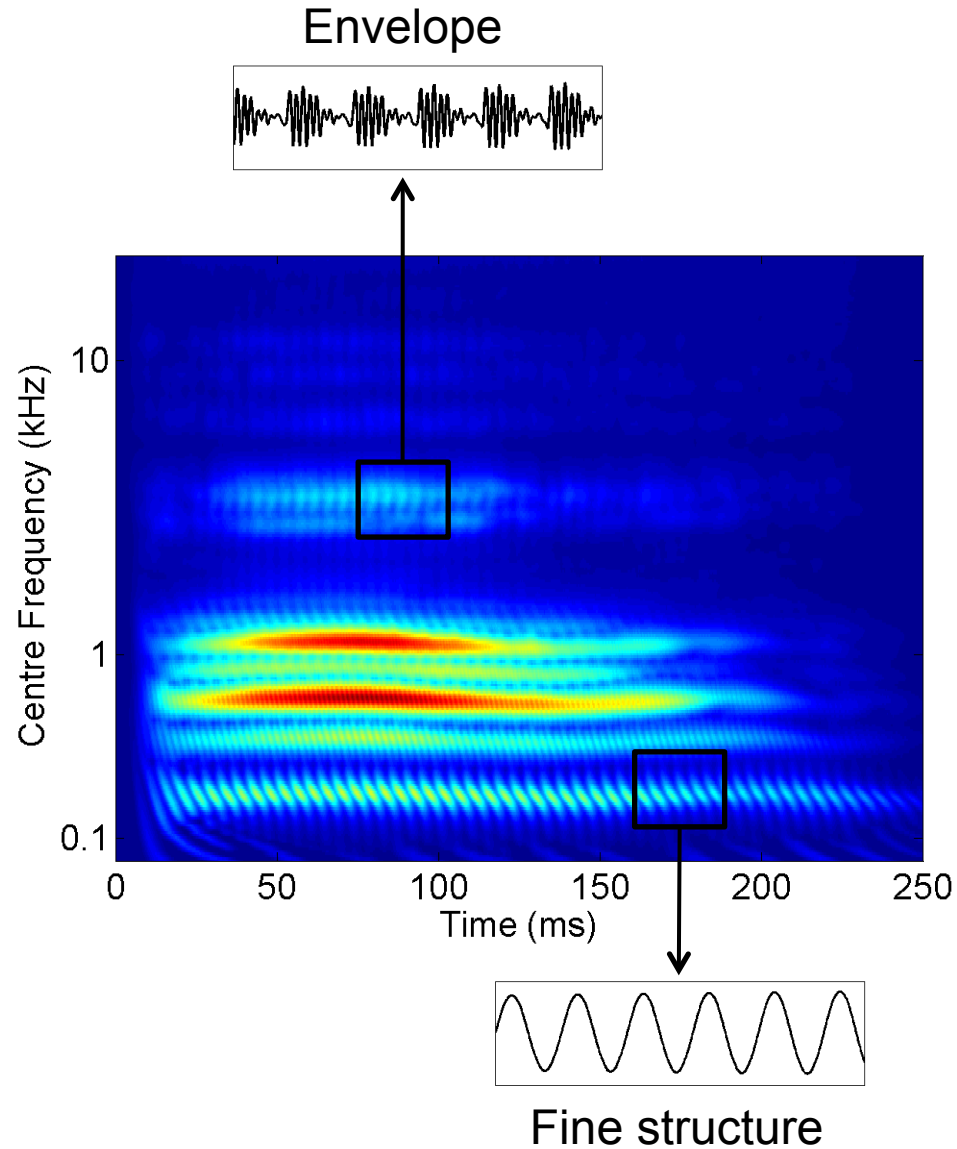
Oreille ext/moy

Membrane basilaire

Mécanisme actif

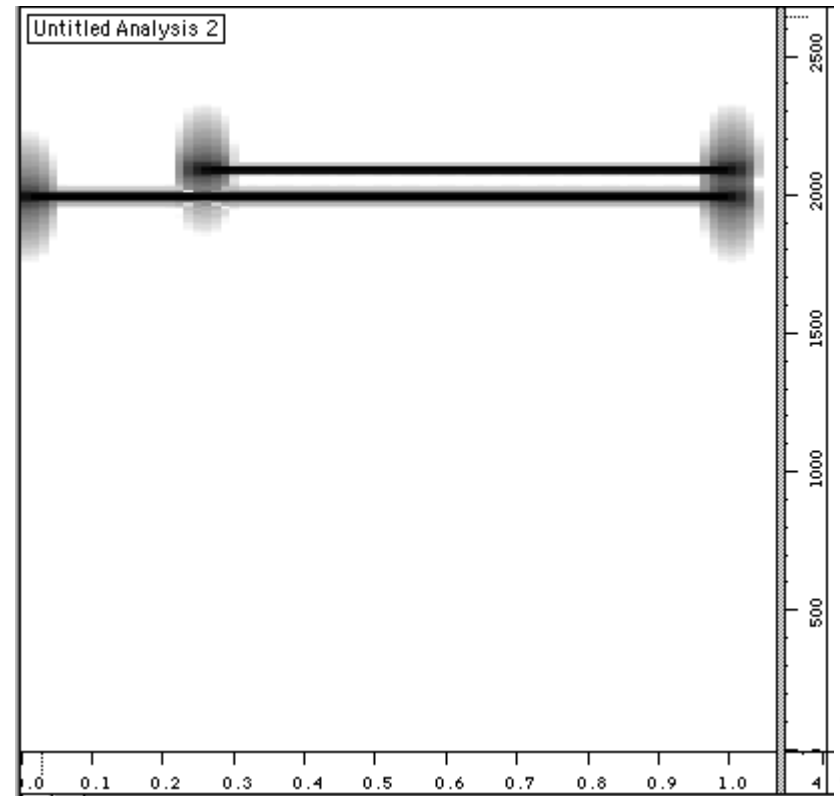
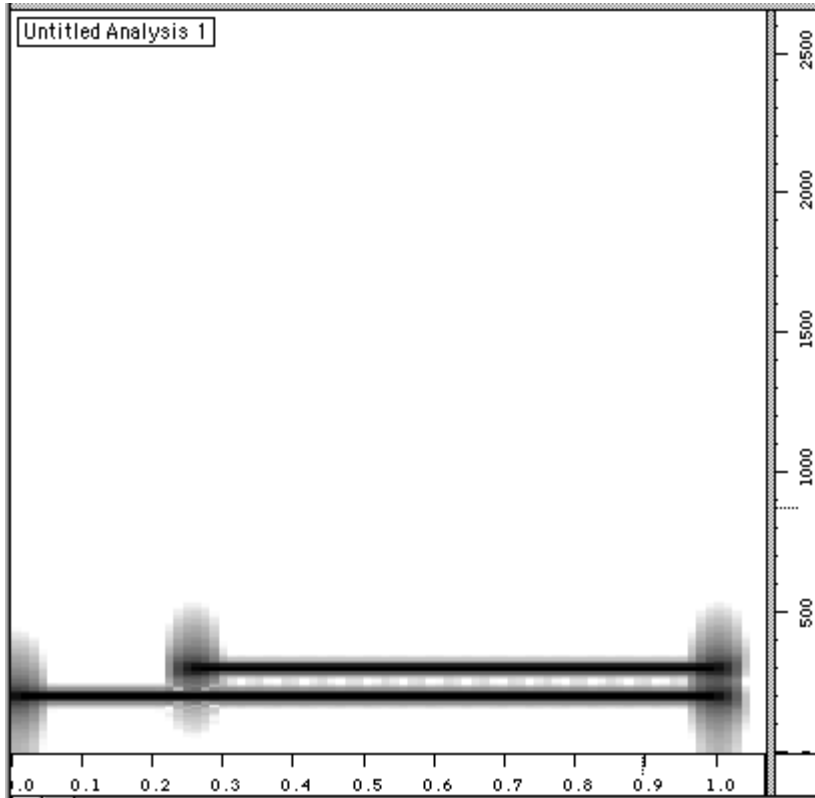
Res. temp.

II.6 Modèles

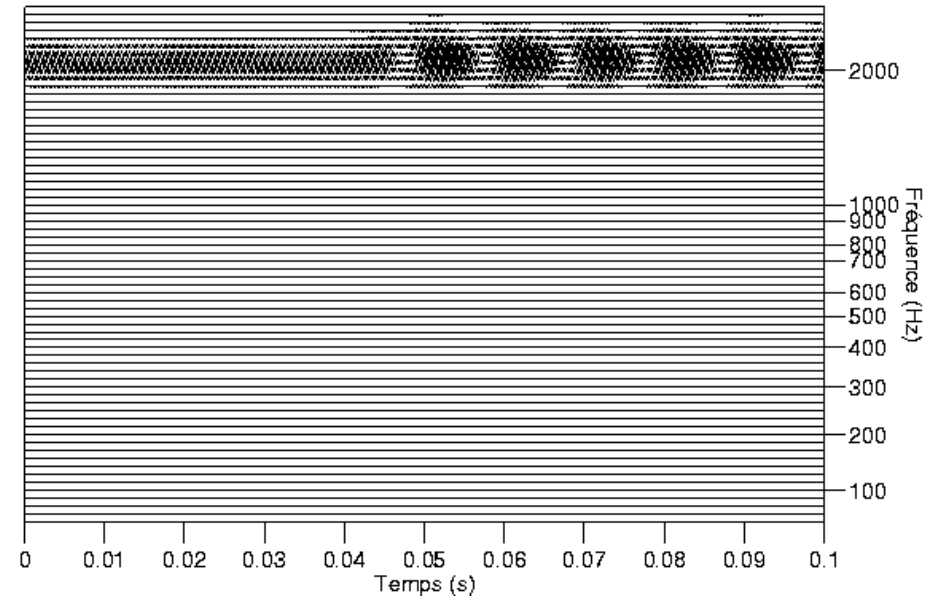
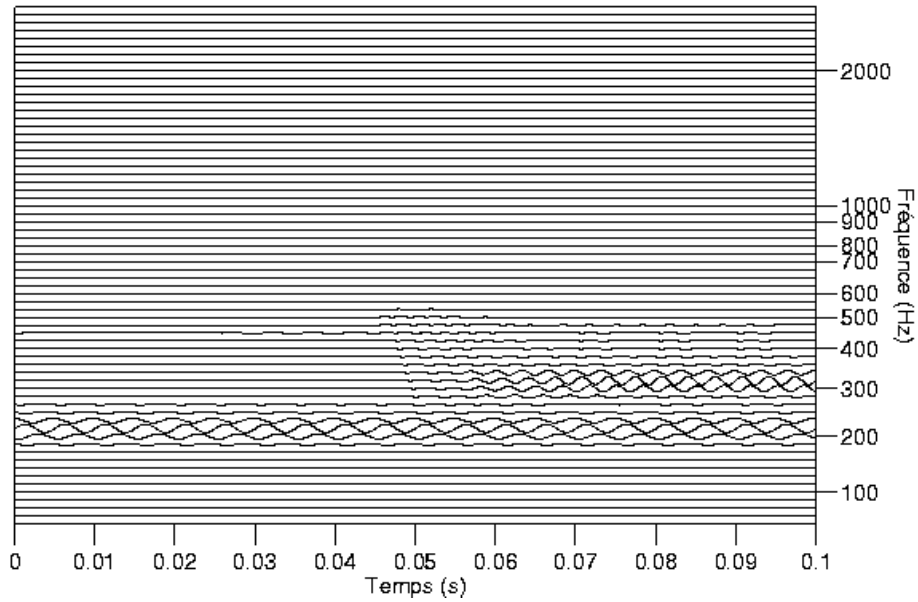


I.1 Acoustique

Représentations



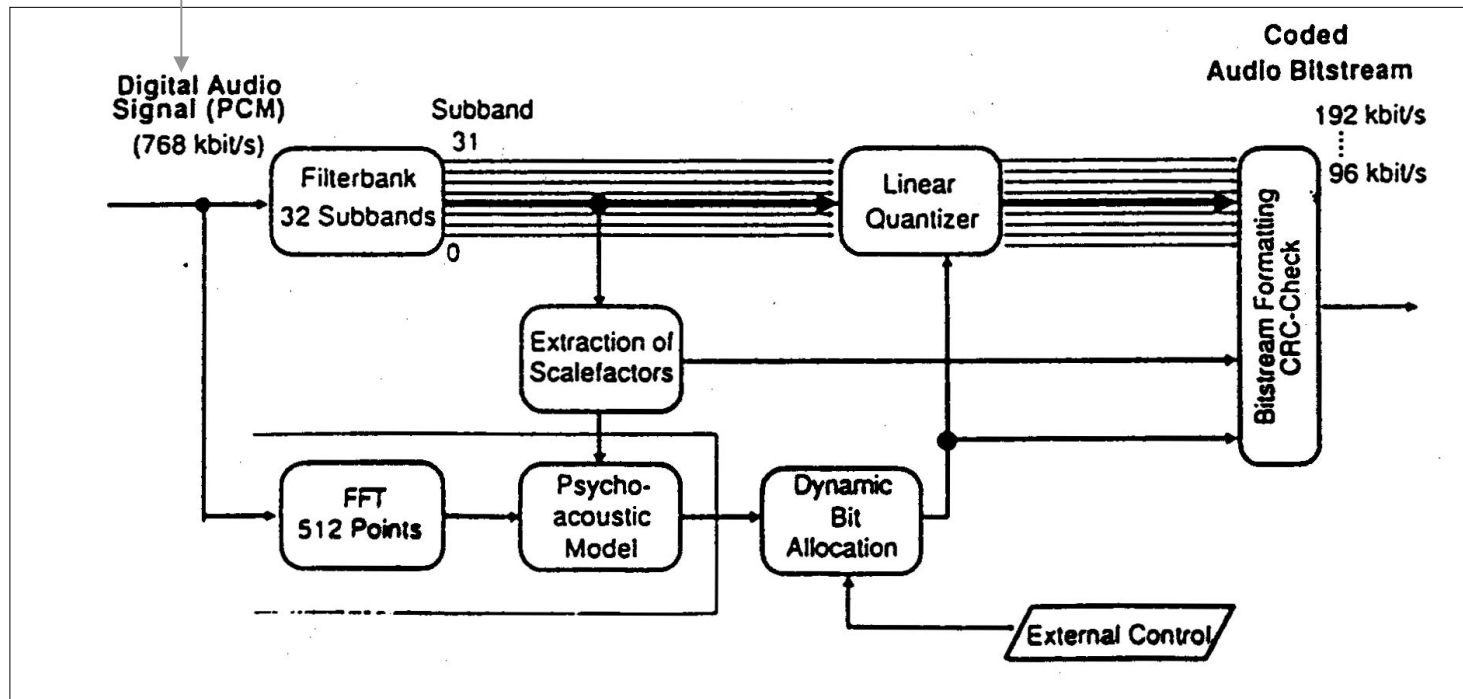
II.6 Modèles



11.7 Applications

Codage audio: MP3

mono@48kHz



II.7 Applications

Codage audio: MP3

CD stereo: $44.1 \times 16 \times 2 = 1410$ kbps 

Compression MP3 (Lame, www.mp3dev.org)


256 kbps 

128 kbps 

64 kbps 

32 kbps 

Bruit résiduel 

Comparaison: fs = 8kHz (256 kbps) 

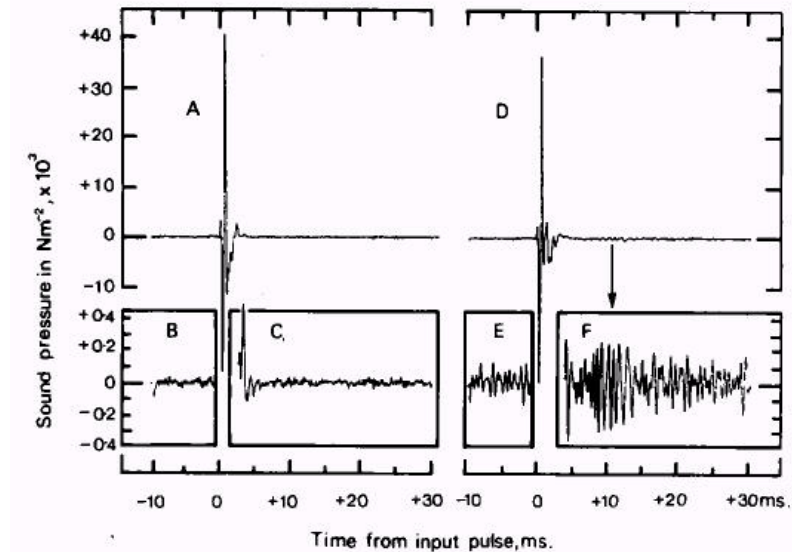
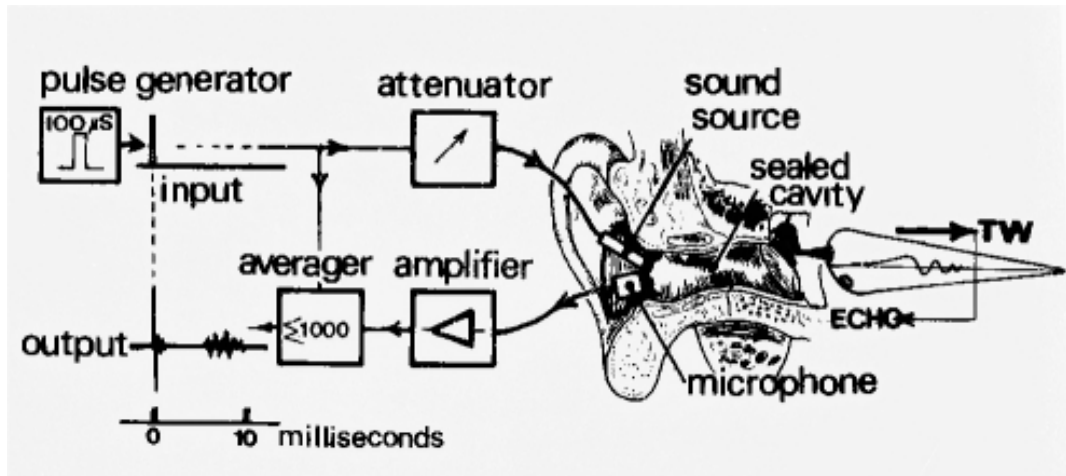
fs = 4kHz (128 kbps) 

8 bits (512 kbps) 

II.7 Applications

Oto-émissions

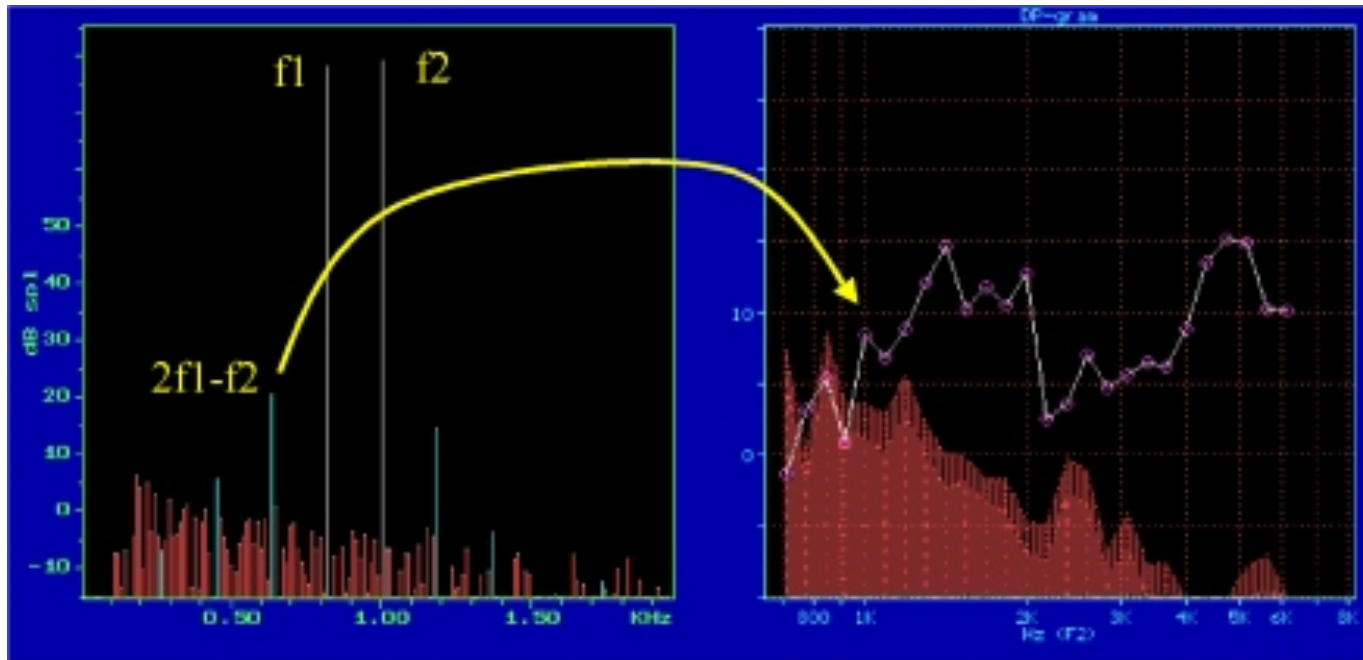
- Mesure acoustique du mécanisme actif



II.7 Applications

Oto-émissions

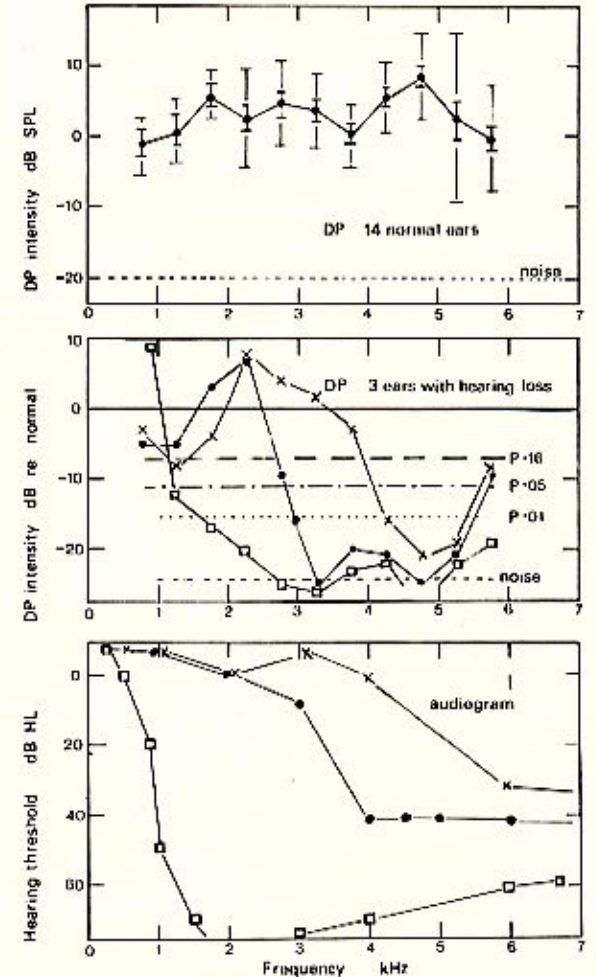
- Mesure acoustique du mécanisme actif



II.7 Applications

Oto-émissions

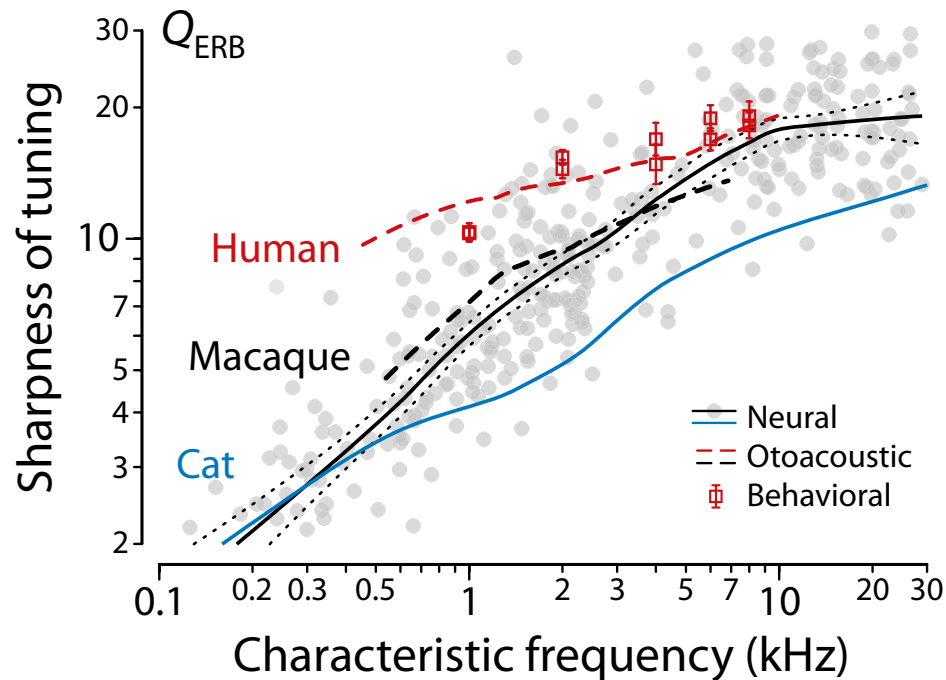
- Mesure acoustique du mécanisme actif
- Corrélation avec pertes auditives



II.7 Applications

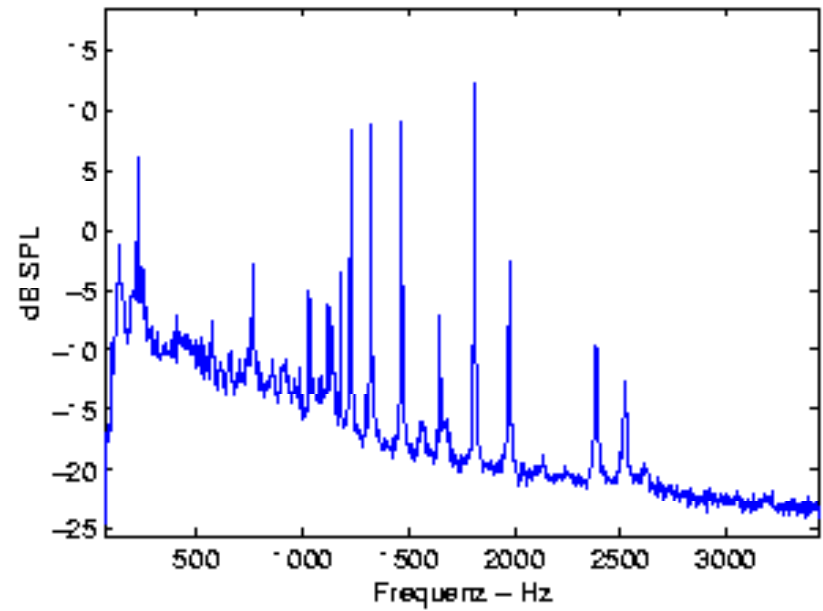
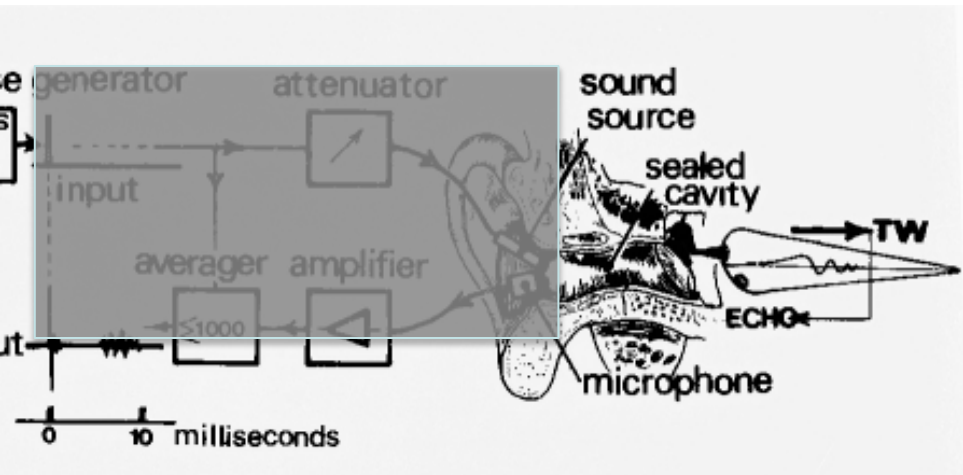
Mesure (indirecte) de sélectivité

- Lien entre délai de l'OAE et sélectivité
- Sélectivité exceptionnelle chez l'humain ?



II.7 Applications

Oto-émissions spontanées



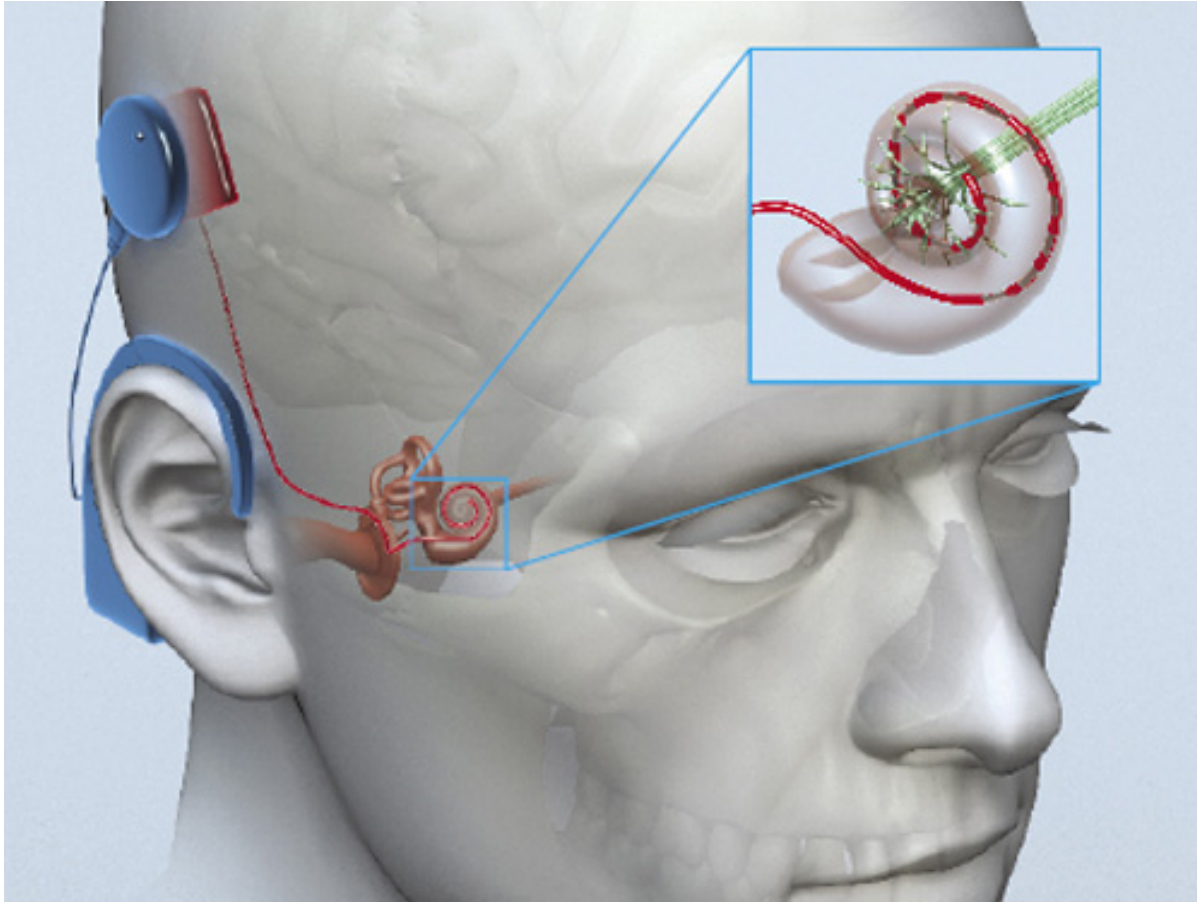
Oreille avec SOAE



Coupleur

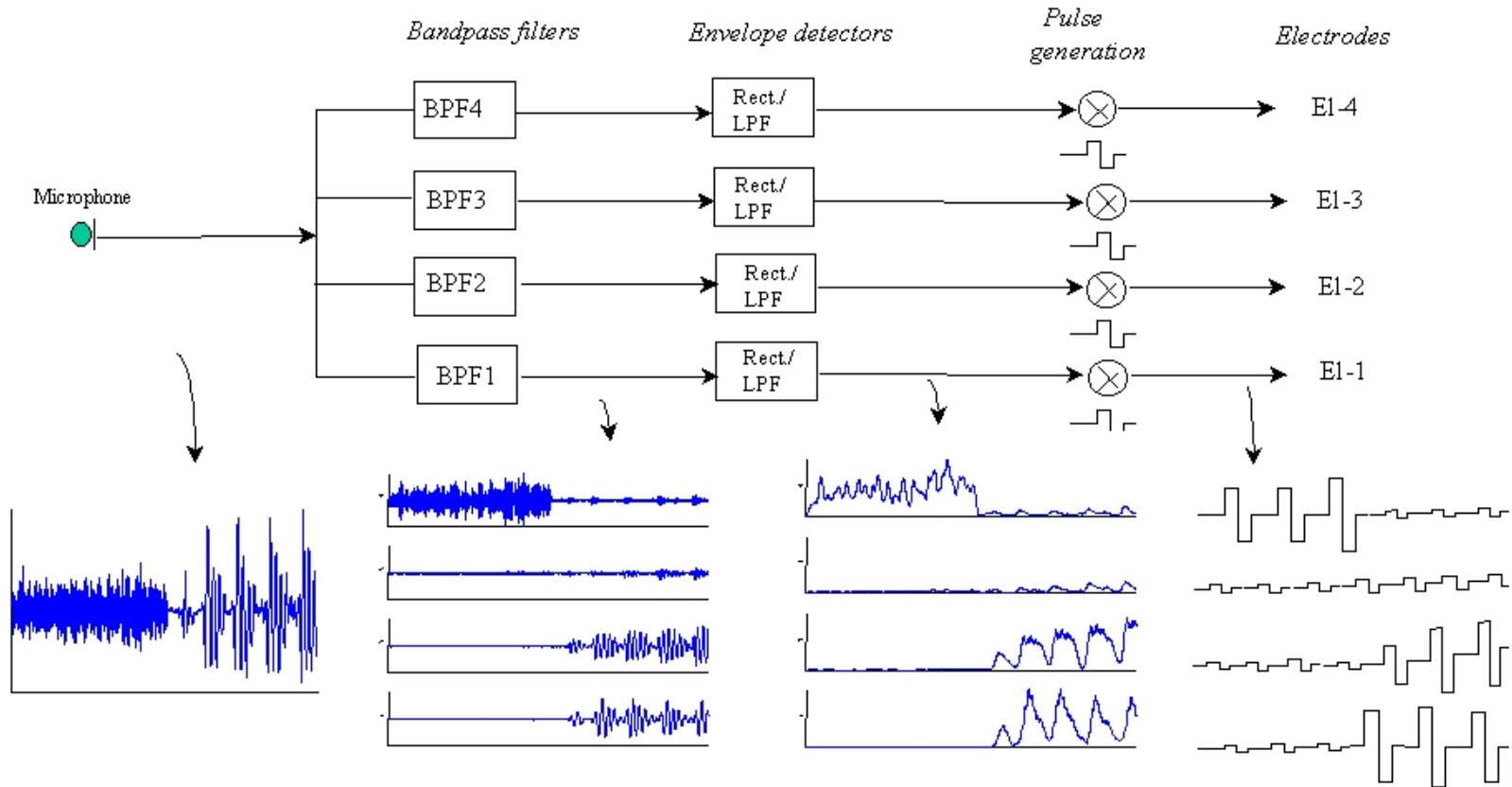
II.7 Applications

Implants cochléaires



II.7 Applications

Implants cochléaires



II.7 Applications

Implants cochléaires

Simulations de l'algorithme de traitement

Bandes

1



2



3



4



6

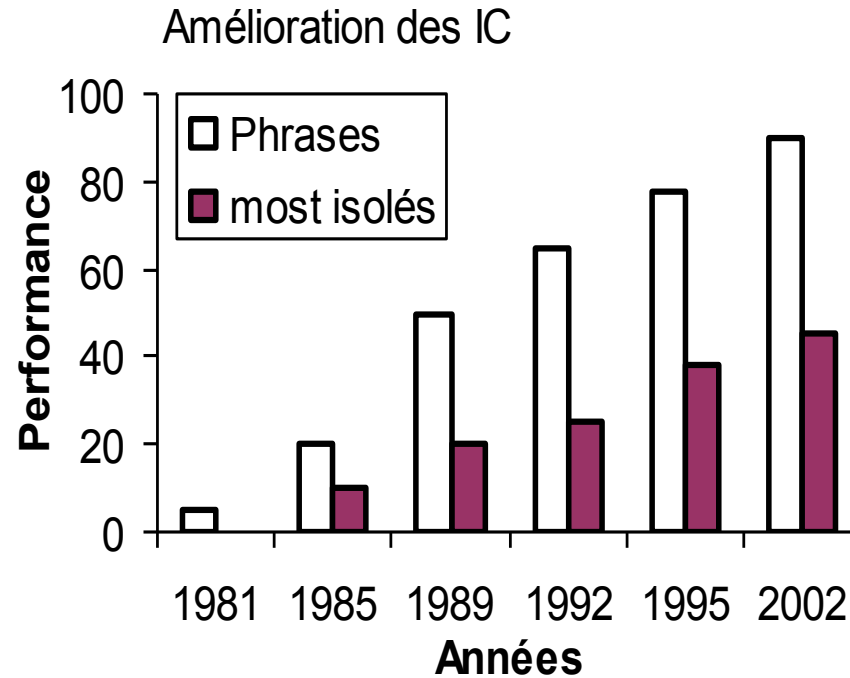


8



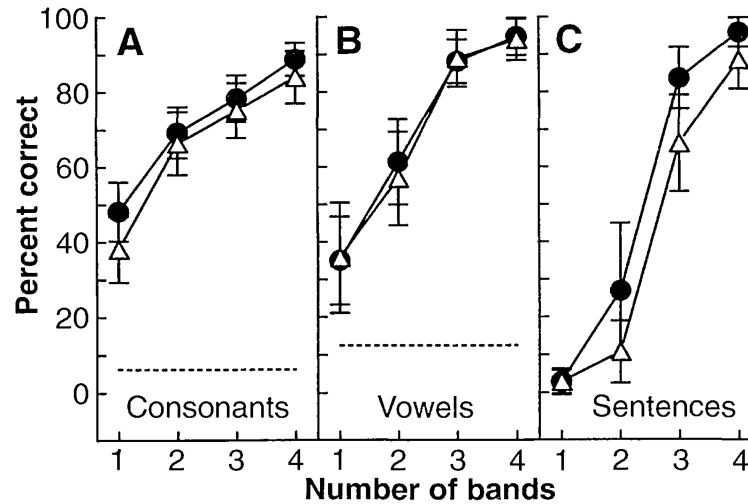
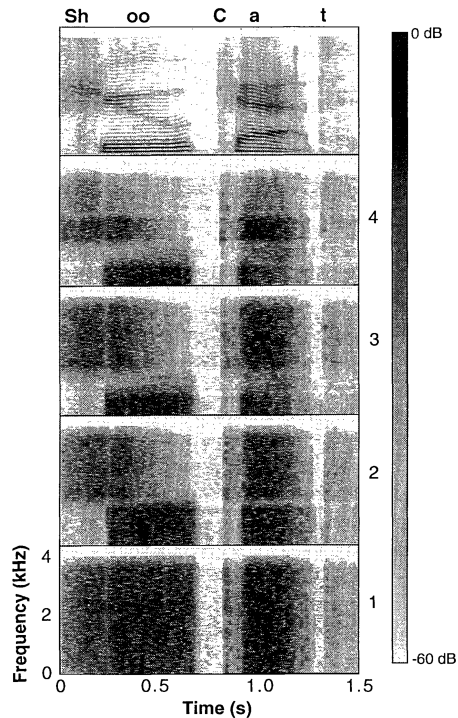
II.7 Applications

Implants cochléaires



II.7 Applications

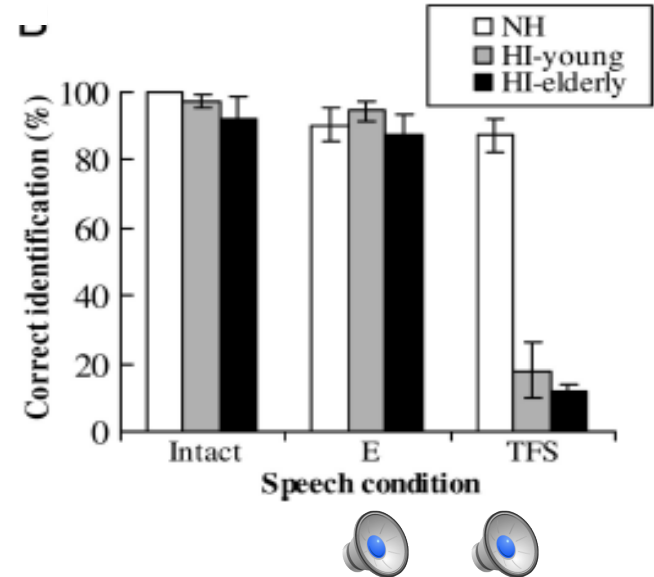
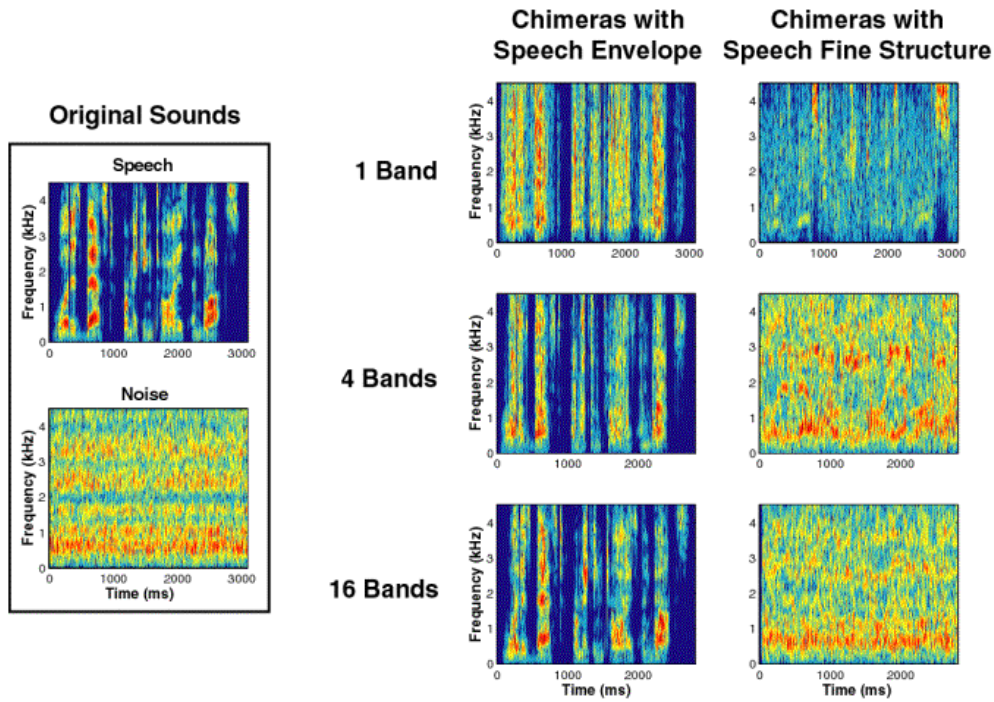
Indices multiples pour la parole



- Enveloppe

II.7 Applications

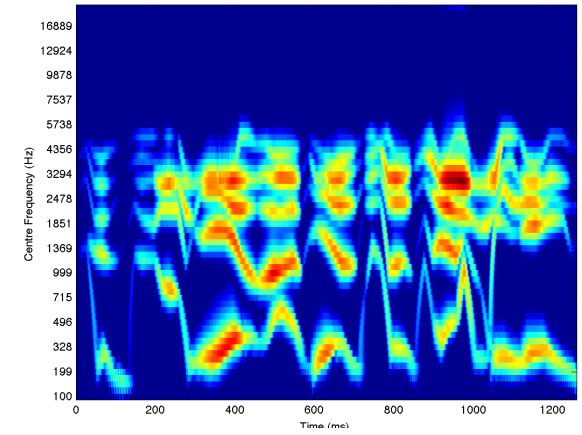
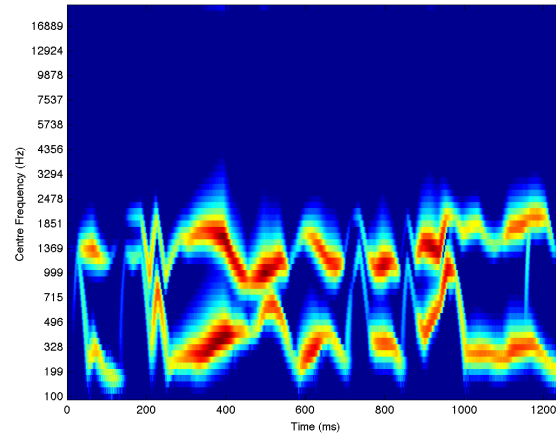
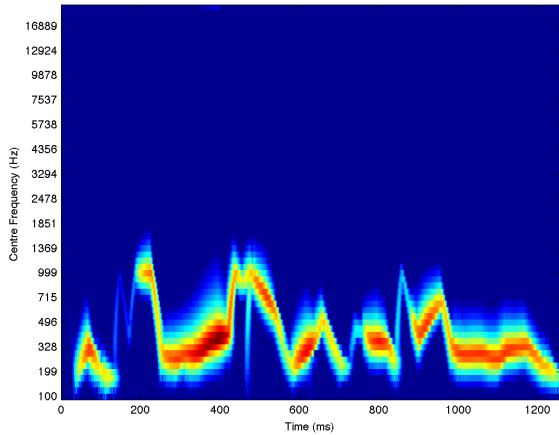
Indices multiples pour la parole



- Structure temporelle fine

II.7 Applications

Indices multiples pour la parole



- Fréquence des formants

